

МЕТОДИКА И РЕЗУЛЬТАТЫ НАБЛЮДЕНИЙ ЛУНЫ В ИНФРАКРАСНОЙ ОБЛАСТИ СПЕКТРА

M. H. Наугольная

Получены из измерений снимков Луны и исследованы фазовые кривые около 100 отдельных деталей и участков лунной поверхности в инфракрасной (920 мк) и синей (430 мк) областях спектра. Установлено, что контрасты яркости в области спектра 920 мк выше, чем в области 430 мк. Это может быть вызвано тем, что в области 920 мк не оказывается люминесцентное свечение некоторых участков Луны. Обнаружено аномальное изменение яркости ряда деталей лунной поверхности в инфракрасной области спектра, что, вероятно, связано с изменениями цвета этих деталей. Большая величина «показателя цвета» у кратера Аристарх, по-видимому, является следствием его люминесценции в области спектра 430 мк. Сопоставление полученных результатов с данными других авторов [1, 4, 12] показывает их удовлетворительное согласие.

Phase curves for about 100 separate details and areas of the Moon surface in the infra-red (920 m μ) and blue (430 m μ) regions of the spectrum, obtained from the measurements of the Moon photographs, were investigated. It is found that the brightness contrasts in the region of 920 m μ are higher than in the region of 430 m μ . This may be due to the fact that the luminescence of certain areas of the Moon does not count in the region of 920 m μ . For some details of the Moon surface the anomalous brightness variations in the infra-red region of the spectrum is detected, which is likely to be connected with colour changes of these details. A considerable value of the «colour index» of Aristarchus appears to be result of its luminescence in the spectrum region of 430 m μ . A comparison of the obtained results with the data of the other authors [1, 4, 12] reveals the satisfactory agreement.

Отражательная способность лунной поверхности в видимой области спектра исследуется давно и изучена довольно хорошо. Наиболее длинные и полные ряды наблюдений получены В. А. Федорец [1] фотографическим методом для области спектра 550 мк. Расширение спектрального диапазона фотометрических наблюдений, в частности, в сторону длинных волн, как подтверждают интересные результаты Н. Ф. Купревича [2, 3, 4], полученные с помощью телевизионного телескопа, может значительно пополнить наши сведения о Луне. Выявление лунных деталей с аномальной отражательной способностью в инфракрасных лучах и хода изменения этой отражательной способности в зависимости от фазы Луны может дать материал для изучения люминесценции Луны в этой области спектра, аномальных температурных изменений отдельных участков и определения физических характеристик лунной поверхности. Целью настоящей работы является изучение отражательной способности отдельных деталей Луны в области спектра около 1 мк в зависимости от угла фазы Луны, выявление различий в распределении яркости по лунной поверхности в инфракрасном (920 мк) и синем (430 мк) участках спектра и определение значений цветовых контрастов на Луне для этих длин волн.

§ 1. МЕТОДИКА НАБЛЮДЕНИЙ

Наблюдения Луны были выполнены в 1964—1968 гг. в Главной астрономической обсерватории АН СССР на менисковом телескопе МТМ-500 системы Д. Д. Максутова (диаметр зеркала 500 мм, светосила 1 : 10, масштаб снимков 40" в 1 мм). Фотографирование проводилось на пластинах размером 9×12 см. Так как угловое поле зрения телескопа 40', Луна получалась на снимке полностью. Диаметр изображения Луны в среднем составлял 45 мм.

Летом 1963 г. было проведено алюминирование зеркала телескопа МТМ-500, что обеспечило равномерную отражательную способность отражающего слоя в пределах 85—90% для обширной области спектра от 0.25 до 1.00 мк. Затем было проведено исследование качества оптики МТМ-500 и точное определение фокуса инструмента по методу Гартмана для диапозитивных пластиноч Agfa и инфракрасных пленок И-920. Среднее положение фокуса для диапозитивных пластиноч и пленок И-920 различалось на 2.2 мм.

Фотографирование Луны производилось в двух участках спектра — на отечественной инфракрасной пленке И-920 [5], дающей в сочетании с красным светофильтром КС-14 фотометрическую систему, соответствующую $\lambda_{\text{эфф}} = 920$ мк, и на диапозитивных пластиноч Agfa с $\lambda_{\text{эфф}} = 430$ мк. На рис. 1 приведены кривые спектральной чувствительности используемых фотоматериалов.

Для фотометрической связи пластиноч применялся цепной метод, предложенный Н. П. Барабашовым [6]. Благодаря этому все негативы, полученные в разное время, оказывались фотометрически надежно связанными один с другим, а яркости всей серии выражены в одной и той же системе и непосредственно сравнимы друг с другом.

Луна фотографировалась с экспозициями от 1 до 20^s и от 1 до 7^s на инфракрасных пленках и диапозитивных пластиноч соответственно.

Для калибровки снимков сразу же после наблюдения на незасвеченные участки пластиноч с помощью сенситометра дважды впечатывался клин с такой же экспозицией, с какой снималась Луна, с тем чтобы можно было сравнить сильно различающиеся между собой яркости одной и той же детали при различных фазах.

Полученные снимки проявлялись каждый в одинаковом количестве свежего раствора проявителя АСП-1 в течении 8 мин. (пленка И-920) или проявителя Чибисова в течение 4 мин. (диапозитивные пластиноч). Для уменьшения эффекта Эбергарда раствор во время проявления перемешивался.

Наиболее неприятным источником погрешностей при измерении яркости небесных объектов является экстинкция света в земной атмосфере. В настоящей работе коэффициент прозрачности атмосферы определялся «долгим методом» по Бугеру [7] путем сравнения яркости одного и того же светила при различных зенитных расстояниях. Для этой цели использовались внефокальные снимки звезд α Lyr, α Aur, α Boo и снимки самой Луны, а именно центральных частей Моря Влажности или Моря Кризисов.

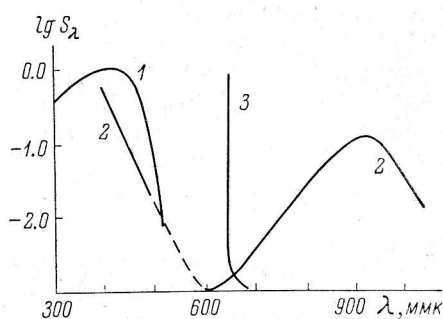


Рис. 1. Кривые спектральной чувствительности используемых фотоматериалов.

1 — диапозитивных пластиноч Agfa; 2 — инфракрасной пленки И-920 в сочетании с красным светофильтром КС-14; 3 — кривая пропускания светофильтра КС-14.

Для данной работы более целесообразным следует считать определение коэффициента прозрачности по Луне, так как при этом отпадают всякие сомнения, связанные с различием в спектральном составе излучения контрольных звезд. В условиях Пулкова «долгий метод» удалось применить только для пятнадцати ночей, ввиду того что часто наблюдения проводились в небольшой просвет, или же после одного—двух снимков небо затягивалось облаками. В остальных случаях брался средний коэффициент прозрачности с учетом качества внефокального изображения звезды. Воздушные массы для различных зенитных расстояний брались из таблицы, составленной Бемпорадом [8]. Для первой области длин волн (920 ммк) коэффициент прозрачности изменялся от 0.925 до 0.936 (среднее значение 0.930), для второй (430 ммк) — от 0.590 до 0.650 (среднее значение 0.620).

Всего было получено 112 снимков Луны на инфракрасных пленках и 68 снимков на диапозитивных пластинках для 57 фаз от $-140^{\circ}.9$ до $+120^{\circ}.6$, в том числе вблизи полнолуния ($\Phi = \pm 13^{\circ}$) было получено десять снимков. Наименьшие фазы, при которых удалось наблюдать Луну: $-5^{\circ}.1$ и $+4^{\circ}.7$. В табл. 1 приведены даты и фазы наблюдений. Данные расположены в порядке изменения угла фазы. Фазы Луны вычислялись по формуле

$$\cos \Phi = \sin b_{\odot} \sin b + \cos b_{\odot} \cos b \sin [(90^{\circ} - l_{\odot}) + l],$$

где b_{\odot} , b — сelenографическая широта Солнца и Земли, $(90^{\circ} - l_{\odot})$ — дополнение до сelenографической долготы Солнца, l — сelenографическая долгота Земли.

Значения b_{\odot} , b , $(90^{\circ} - l_{\odot})$ и l взяты из Астрономических ежегодников СССР на 1964—1968 гг.

ТАБЛИЦА 1

Дата	Угол фазы (Φ)	Дата	Угол фазы (Φ)	Дата	Угол фазы (Φ)
2 III 1968	$-140^{\circ}9$	27 X 1966	$-18^{\circ}4$	9 I 1966	$+\ 39^{\circ}0$
3 III 1968	-129.7	27 X 1966	-47.7	10 I 1966	$+\ 39.4$
3 III 1968	-129.0	9 IX 1965	-13.4	8 II 1966	$+\ 45.7$
24 V 1966	-122.7	3 V 1966	-12.7	12 XI 1965	$+\ 47.3$
29 III 1966	-89.3	4 II 1966	-12.6	22 XII 1964	$+\ 52.1$
9 II 1965	-84.1	7 I 1966	-5.1	14 X 1965	$+\ 52.7$
21 III 1964	-78.0	5 II 1966	$+4.7$	22 XII 1964	$+\ 53.1$
21 III 1964	-77.5	10 X 1965	$+5.4$	9 II 1965	$+\ 59.9$
21 III 1964	-76.4	9 IX 1965	$+8.3$	13 XI 1965	$+\ 60.5$
7 II 1968	-75.2	31 VIII 1966	$+8.4$	5 IX 1966	$+\ 63.7$
7 II 1968	-74.6	31 VIII 1966	$+9.0$	5 IX 1966	$+\ 64.0$
22 III 1964	-65.3	7 I 1966	$+9.8$	5 IX 1966	$+\ 64.8$
22 III 1964	-64.9	31 VIII 1966	$+10.1$	5 IX 1966	$+\ 65.1$
8 II 1968	-63.1	30 X 1966	$+15.2$	26 X 1964	$+\ 77.5$
22 XI 1966	-58.9	30 X 1966	$+15.7$	16 X 1965	$+\ 78.7$
15 XII 1964	-45.8	1 IX 1966	$+20.1$	27 X 1964	$+\ 89.6$
3 II 1966	-27.0	12 IX 1965	$+22.9$	27 X 1964	$+\ 89.7$
3 II 1966	-25.9	11 XI 1965	$+33.4$	27 X 1964	$+\ 90.5$
3 IV 1966	-23.2	9 I 1966	$+38.7$	20 X 1965	$+\ 120.6$

§ 2. МЕТОДИКА ОБРАБОТКИ НАБЛЮДЕНИЙ

Фотометрирование негативов производилось на саморегистрирующем микрофотометре МФ-2. Щель микрофотометра вырезала на снимке Луны прямоугольник размером 0.023×0.080 мм, что соответствует на поверхности Луны площадке 1.8×6.2 км. На каждую измеряемую точку нега-

ТАБЛИЦА 2

№ п/п	Названия деталей	Селенографические координаты	
		φ	λ
1	Материк к западу от Моря Кризисов	+17°8	-75°0
2	Край Луны у Лангрена	-40.5	-65.0
3	Северная часть Моря Кризисов	+20.0	-61.4
4	Лангрен, центр	-08.5	-60.7
5	Фурнерий, центр	-36.0	-60.0
6	Центр Моря Кризисов	+15.0	-55.8
7	Южная часть Моря Изобилия	-11.7	-51.0
8	Центр Моря Изобилия	-06.7	-51.0
9	Северная часть Моря Изобилия	00.0	-50.0
10	Светлый луч Пикеринга	-12.4	-48.8
11	Рядом, не луч	-12.3	-48.5
12	Прокл, центр	+16.2	-46.4
13	Материк в юго-западной части Луны	-60.0	-45.0
14	Болото Сна	+14.0	-42.8
15	Западная часть Моря Спокойствия	+11.3	-38.1
16	Озеро Снов	+35.5	-35.0
17	Центр Моря Нектара	-15.0	-32.0
18	Западная часть Моря Кризисов	+55.0	-30.0
19	Посидоний, центр	+31.9	-29.5
20	Южная часть Моря Спокойствия	+03.7	-28.3
21	Западная часть Моря Ясности	+27.1	-27.7
22	Центр Моря Спокойствия	+08.1	-27.5
23	Феофил, центр	-11.7	-26.8
24	Кирилл, центр	-13.3	-24.0
25	Катарина, центр	-17.4	-23.0
26	Дионисий, центр	+03.4	-22.4
27	Пятно к югу от Моря Ясности	+16.0	-21.7
28	Горная область севернее Моря Ясности	+38.6	-17.5
29	Центр Моря Ясности	+25.9	-17.0
30	Луч в Море Ясности	+20.0	-17.0
31	Рядом, не луч	+20.0	-16.0
32	Менелай, центр	+16.3	-15.9
33	Линней, центр	+28.5	-11.6
34	Темное пятно, южнее Манилия	+10.0	-11.0
35	Манилий, центр	+14.4	-08.5
36	Болото Туманов	+42.0	-06.6
37	Штефлер, центр	-42.0	-05.0
38	Море Паров, центр	+12.4	-03.4
39	Центральный Залив	00.0	00.0
40	Апеннины	+22.0	+00.7
41	Птолемей	-08.1	+02.8
42	Арзахель, центр	-17.8	+02.8
43	Альфонс	-12.8	+03.3
44	Архимед, центр	+29.8	+04.0
45	Западный вал Платона	+50.5	+06.9
46	Залив Эноя	+11.3	+08.5
47	Море Дождей, южнее Платона	+46.4	+10.0
48	Платон, центр	+51.2	+10.0
49	Северный край Луны	+70.0	+10.0
50	Северная часть Моря Облаков	-15.0	+11.0
51	Центральная горка Тихо	-42.5	+11.8
52	Тихо, кольцо	-42.7	+13.3
53	Рядом с лучом в Море Дождей	+27.0	+14.0
54	Темное пятно близ Коперника	+05.8	+14.3
55	Клавий, центр	-58.7	+14.5
56	Северо-западная часть Моря Дождей	+43.7	+14.7
57	Луч в Море Дождей	+28.0	+15.5
58	Море Холода к северо-востоку от Платона	+58.0	+17.0
59	Южная часть Моря Облаков	-25.0	+17.5
60	Рядом с лучом Коперника	+12.5	+18.2
61	Луч Коперника	+12.2	+18.8
62	Коперник, центр	+09.0	+20.0

ТАБЛИЦА 2 (продолжение)

№ п/п	Названия деталей	Селенографические координаты	
		φ	λ
63	Восточная часть моря Облаков	-18°7	+20°9
64	Южная часть луча Тихо-Буллиальд	-29.4	+24.8
65	Южный край Луны	-72.0	+22.0
66	Рядом с лучом Тихо-Буллиальд	-29.7	+22.1
67	Севернее Коперника	+11.5	+22.2
68	Северо-восточная часть Моря Дождей, к югу от Залива Радуги	+40.0	+28.0
69	Междуд Кеплером и Коперником	+10.0	+30.7
70	Кратер Синус	+44.1	+32.0
71	Залив Радуги, центральная часть	+45.6	+34.4
72	Горная область над Заливом Радуги	+42.3	+36.3
73	Центр Моря Влажности	-23.8	+37.5
74	Кеплер, центр	+07.5	+37.8
75	Северо-восточная часть Моря Влажности	-20.3	+41.2
76	Болото Эпидемий	-36.1	+42.8
77	Восточнее Кеплера	+09.3	+43.8
78	Море Холода под Заливом Радуги	+55.0	+45.0
79	Луч Кеплера	+09.0	+45.0
80	Севернее Аристарха	+26.7	+45.4
81	Рядом с лучом Кеплера	+08.8	+45.6
82	Юго-восточный край Луны	-16.5	+47.0
83	Аристарх, центр	+23.0	+47.1
84	Рядом с лучом Аристарха	+25.2	+47.2
85	Луч Аристарха	+26.0	+48.0
86	Пятно Вуда	+22.9	+49.3
87	Край Луны восточнее Моря Влажности	-26.4	+50.7
88	Западное пятно Шиккарда	-45.7	+51.3
89	Залив Росы	+50.0	+55.0
90	Шиккард, центр	-44.5	+55.7
91	Восточное пятно Шиккарда	-42.6	+56.9
92	Восточная часть Океана Бурь	+15.0	+57.5
93	Океан Бурь, западнее Гимальди	-04.0	+58.0
94	Океан Бурь, восточнее Аристарха	+23.0	+65.0
95	Восточная часть Океана Бурь	+05.0	+65.0
96	Северо-восточная часть Океана Бурь	+50.0	+66.0
97	Гимальди, центр	+05.2	+67.1
98	Горная область над восточной частью Океана Бурь	-12.9	+70.0
99	Северная часть Океана Бурь	+60.0	+75.0
100	Материк восточнее Океана Бурь	+05.0	+77.5
101	Край Луны около Гимальди	-06.0	+78.0

тива наведение проводилось три—пять раз, после чего вычислялось среднее значение. Плотность фона негатива измерялась в десяти—пятнадцати точках, равномерно расположенных вокруг диска. Затем промерялись поля шкалы фотометрического клина.

Для каждой пластинки была построена характеристическая кривая: по оси абсцисс откладывались измеренные величины почертений негатива, по оси ординат — $\lg B$, где B — относительные яркости полей клина. $\lg B$ каждого поля шкалы сенситометра отличался от соседнего на 0.15.

Сведение негативов в одну систему осуществлялось с помощью фотометрической шкалы: определенному номеру поля шкалы (в этой работе № 15) соответствовал всегда один и тот же логарифм яркости ($0.6 \lg B$). С характеристических кривых снимались значения яркости отдельных деталей. Затем эти значения исправлялись за атмосферную экстинкцию и приводились к одному зенитному расстоянию Луны ($z=27^\circ$).

В списке деталей, отобранных для измерения, представлены наиболее типичные для лунной поверхности образования:

- 1 — океан, моря, заливы, болота;
- 2 — материки и горные области;
- 3 — детали кратеров;

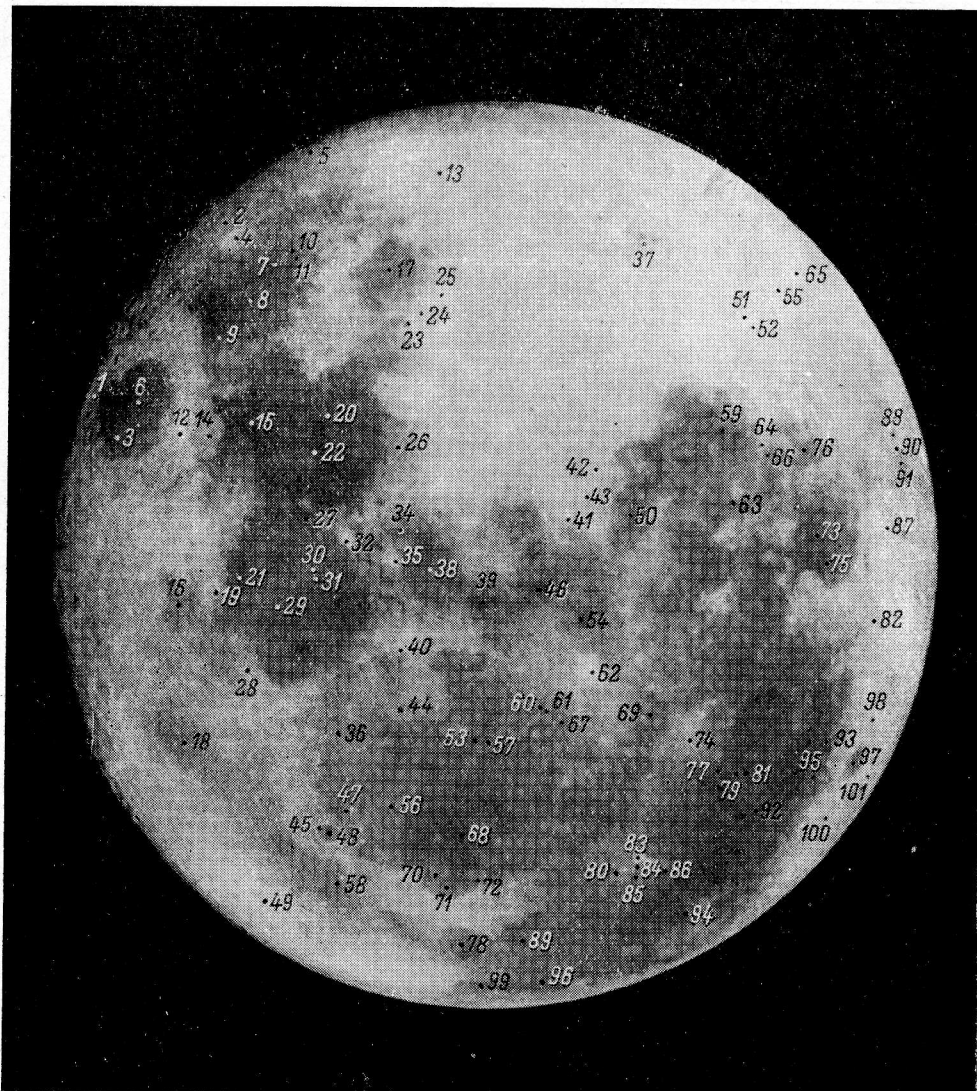


Рис. 2. Расположение изученных областей и деталей на поверхности Луны.

- 4 — светлые лучи и соседние с ними области;
- 5 — краевые участки Луны.

Кроме того, в список включены объекты, у которых были обнаружены какие-либо аномалии в отражательной способности (№№ 24, 25, 51, 52, 55, 62, 64, 74, 83), изменения вида, формы, цвета и т. д. (№№ 3, 5, 6, 10, 19, 22, 26, 33, 38, 43, 48, 59, 71, 83, 97), а также детали, у которых были замечены какие-либо особенности по телевизионным снимкам Н. Ф. Купревича (№№ 15, 17, 20, 22, 47, 50, 56, 59, 63, 64, 68, 95, 101).

В табл. 2 перечисляются названия изучавшихся областей и деталей лунной поверхности и их сelenографические координаты ϕ и λ , которые были определены по карте Медлера 1837 г. [9].

На рис. 2 показано, как расположены исследовавшиеся детали и участки на поверхности Луны.

При интерпретации результатов фотографических наблюдений следует учитывать, что при самой большой тщательности в работе невозможно исключить некоторые важные источники погрешностей, присущие фотографическому процессу. Так, зернистая структура проявленного фотографического слоя ставит естественный предел возможности измерения малых изображений. В нашем случае среднеквадратичная ошибка одного измерения, выведенная из сопоставления последовательно повторяемых отсчетов по одному и тому же объекту, оказалась равной ± 0.07 , и поскольку на каждую деталь делалось 3—5 наведений, то квадратичная погрешность среднего будет около ± 0.04 , т. е. 4%.

§ 3. РЕЗУЛЬТАТЫ ИЗМЕРЕНИЙ

В табл. 3 приводятся логарифмы яркости в синей ($\lg B_c$) и в инфракрасной ($\lg B_{\text{ир}}$) областях спектра всех исследованных объектов при различных углах фазы.

Полученного материалаказалось достаточно для уверенного построения кривых изменения яркости изучаемых деталей и участков поверхности Луны в зависимости от угла фазы в инфракрасной и синей областях спектра (фазовых кривых).

Близко расположенные участки лунных морей и дна темных кратеров имеют почти одинаковые фазовые кривые. Отдельные светлые лучи и некоторые светлые кратеры имеют кривые с более «острым» максимумом, чем у материков. Подобные же результаты получены В. В. Шароновым [10]. Из объектов, лежащих на одной долготе, светлые лучи и внутренние участки некоторых кратеров (например, Аристарха) дают более «острые» кривые, пятна — менее «острые».

Для большинства деталей в обеих областях спектра максимум яркости наступает вблизи полнолуния. В некоторых областях восточного полушария (отдельных кратерах и лучах) максимум яркости достигается после полнолуния, ближе к моменту кульминации над ними Солнца. Это наблюдается у следующих объектов: центральной горки Тихо (51), кольца Тихо (52), кратера Клавий (55) при Φ около $+10^\circ$, кратера Аристарх (83) при Φ между $+9$ и $+15^\circ$, луча Тихо (64), кратеров Коперник (62) и Кеплер (74) при Φ около $+5^\circ$. Такая же особенность для кратеров с лучами (Тихо, Коперник) отмечена А. В. Марковым [11].

Сравнение наших фазовых кривых в областях спектра 430 и 920 мкм с соответствующими кривыми каталога В. А. Федорец для области 550 мкм существенного различия не показало.

Для большинства деталей характер изменения отражательной способности в зависимости от угла фазы одинаков во всех трех областях спектра. В качестве примера на рис. 3 приведены фазовые кривые для южной части Моря Изобилия и для кратера Кеплер. Для удобства сравнения кривых они произвольно сдвинуты относительно системы координат.

Если интерпретировать контрасты на Луне как градацию яркостей деталей при малых фазах, то получается, что интервал яркостей деталей (разность между логарифмами наибольшего и наименьшего значения яркости) составляет 0.49 (1^m23) и 0.70 (1^m75) для областей 430 и 920 мкм соответственно (исключение составляет очень яркий в синей области спектра кратер Аристарх). Это хорошо согласуется с результатами Н. Ф. Купревича [3].

ТАБЛИЦА 3

Угол фазы	Номер детали							
	1		2		3		4	
	$\lg B_c$	$\lg B_{HK}$	$\lg B_c$	$\lg B_{HK}$	$\lg B_c$	$\lg B_{HK}$	$\lg B_c$	$\lg B_{HK}$
-140°9	1.25	0.75	1.45	0.95	1.45	0.30	1.35	0.70
-129.7	1.40	0.88	—	1.58	1.05	1.35	0.34	—
-129.0	—	—	—	—	—	—	1.50	0.90
-122.7	1.43	0.90	1.60	1.08	1.40	0.37	1.55	0.95
-89.3	1.60	1.14	1.77	1.24	1.80	0.69	1.81	1.20
-84.1	1.69	1.20	1.80	1.25	1.85	0.74	1.88	1.25
-78.0	1.75	1.23	1.85	1.30	1.95	0.78	1.93	1.30
-75.2	—	—	—	—	1.95	0.80	—	—
-74.6	—	—	—	—	—	—	2.00	1.35
-65.3	1.90	1.46	1.95	1.42	2.00	0.95	2.07	1.45
-63.1	1.95	1.45	—	—	2.05	1.04	2.08	1.47
-58.9	2.00	1.50	2.00	1.50	2.10	1.05	2.10	1.50
-45.8	2.10	1.58	2.45	1.60	2.45	1.30	2.20	1.60
-27.0	2.45	1.60	2.24	1.68	2.30	1.55	2.30	1.70
-23.2	2.48	1.64	2.28	1.71	2.32	1.61	2.33	1.73
-18.4	—	—	2.30	1.73	—	—	2.34	1.74
-17.7	2.20	1.65	—	—	2.35	1.70	—	—
-13.4	2.24	1.69	—	—	2.45	1.78	—	—
-12.7	—	—	2.35	1.78	—	—	2.37	1.77
-5.1	2.35	1.85	2.40	1.85	2.50	1.86	2.45	1.85
+4.7	2.39	1.88	2.43	1.86	—	—	—	—
+5.4	2.32	1.82	—	—	2.55	1.90	2.48	1.84
+8.3	1.96	1.43	—	—	—	—	—	—
+9.0	—	—	2.18	1.62	2.39	1.74	2.33	1.74
+9.8	—	—	—	—	2.35	1.65	—	—
+15.2	—	—	—	—	2.20	1.52	2.15	1.50
+15.7	—	—	—	—	—	—	2.09	1.45
+20.4	—	—	—	—	1.95	1.25	1.88	1.23
+22.9	—	—	—	—	1.83	1.43	1.76	1.45
+33.4	—	—	—	—	1.60	0.90	—	—
+38.7	—	—	—	—	1.43	0.73	—	—
	5	6	7	8				
-140°9	—	—	1.23	0.30	—	—	—	—
-129.0	—	—	1.37	0.32	—	—	—	—
-122.7	1.14	0.52	1.45	0.34	1.40	0.55	1.02	0.45
-89.3	1.45	0.84	1.81	0.61	1.60	1.04	1.55	0.96
-84.1	1.49	0.90	1.89	0.70	1.66	1.11	1.57	1.03
-78.0	1.55	0.95	—	—	1.70	1.20	—	—
-77.5	—	—	1.95	0.75	—	—	1.65	1.09
-76.4	—	—	1.95	0.77	—	—	—	—
-75.2	—	—	1.98	0.81	—	—	—	—
-74.6	—	—	—	—	1.75	1.22	—	—
-65.3	—	—	—	—	1.85	1.29	—	—
-64.9	1.70	1.10	2.05	0.97	—	—	1.75	1.20
-63.1	—	—	2.05	0.97	1.90	1.35	1.76	1.22
-58.9	1.75	1.20	2.13	1.02	1.90	1.40	1.85	1.29
-45.8	1.90	1.35	2.20	1.21	2.05	1.50	1.98	1.40
-27.0	2.16	1.55	2.28	1.50	—	—	2.12	1.58
-25.9	—	—	2.32	1.52	2.20	1.65	—	—
-23.2	2.25	1.63	2.35	1.60	2.22	1.67	2.14	1.58
-18.4	—	—	—	—	2.26	1.69	—	—
-17.7	2.29	1.70	2.41	1.68	—	—	2.16	1.63
-13.4	—	—	2.43	1.74	—	—	—	—
-12.7	2.37	1.76	—	—	2.30	1.73	2.22	1.69
-12.6	—	—	2.45	1.78	—	—	—	—
-5.1	2.42	1.82	2.55	1.85	2.35	1.80	2.30	1.75

ТАБЛИЦА 3 (продолжение)

Угол фазы	Номер детали							
	5		6		7		8	
	$\lg B_c$	$\lg B_{IK}$	$\lg B_c$	$\lg B_{IK}$	$\lg B_c$	$\lg B_{IK}$	$\lg B_c$	$\lg B_{IK}$
+ 4.7	—	—	2.54	1.84	2.35	1.83	2.32	1.77
+ 5.4	2.43	1.82	2.50	1.80	—	—	—	—
+ 8.3	—	—	2.41	1.70	—	—	—	—
+ 9.0	2.35	1.74	2.39	1.65	2.27	1.74	2.25	1.65
+ 9.8	—	—	2.38	1.65	—	—	—	—
+ 10.1	2.29	1.71	—	—	—	—	—	—
+ 15.2	2.42	1.54	2.22	1.50	2.16	1.67	2.12	1.54
+ 15.7	2.09	1.50	2.20	1.47	—	—	2.11	1.53
+ 20.1	1.89	1.30	2.10	1.39	2.06	1.52	2.04	1.44
+ 22.9	—	—	1.90	1.20	1.97	1.44	1.95	1.38
+ 33.4	—	—	1.60	0.87	—	—	1.68	1.10
+ 38.7	—	—	1.46	0.75	—	—	1.59	1.01
	9	10	11	12				
— 129°0	—	—	—	—	—	—	1.05	0.45
— 122.7	—	—	1.28	0.68	1.24	0.60	1.20	0.56
— 89.3	1.50	1.02	1.60	0.99	1.46	0.84	1.80	1.17
— 84.1	1.58	1.05	1.64	1.05	1.50	0.90	1.85	1.25
— 78.0	1.63	1.08	1.70	1.10	1.60	0.95	—	—
— 76.4	—	—	—	—	—	—	1.95	1.33
— 74.6	1.68	1.13	1.75	1.45	1.62	0.98	—	—
— 65.3	1.76	1.13	1.80	1.25	1.70	1.06	2.10	1.48
— 63.4	1.78	1.23	1.85	1.27	1.75	1.10	—	—
— 58.9	1.83	1.28	1.88	1.30	1.77	1.12	2.15	1.55
— 45.8	1.93	1.38	2.00	1.40	1.90	1.30	2.30	1.70
— 27.0	2.08	1.53	2.25	1.62	2.10	1.45	2.38	1.79
— 23.2	2.08	1.58	2.28	1.69	2.15	1.50	2.41	1.81
— 18.4	—	—	—	—	—	—	2.45	1.83
— 17.7	2.13	1.59	2.31	1.73	2.20	1.58	—	—
— 12.7	2.49	1.67	2.33	1.77	2.25	1.61	2.50	1.87
— 5.4	2.33	1.78	2.40	1.80	2.27	1.65	2.55	1.95
+ 4.7	2.34	1.75	2.35	1.72	2.28	1.62	2.60	1.98
+ 9.0	2.45	1.65	2.25	1.66	2.22	1.56	2.55	1.95
+ 15.2	2.04	1.49	2.05	1.43	2.04	1.38	2.48	1.87
+ 15.7	2.02	1.46	—	—	—	—	—	—
+ 20.1	1.96	1.44	1.78	1.20	1.93	1.27	2.40	1.77
+ 22.9	1.83	1.30	1.73	1.17	1.78	1.15	2.30	1.70
	13	14	15	16				
— 122°7	—	—	1.28	0.75	—	—	—	—
— 89.3	1.50	0.85	1.68	1.18	1.40	0.76	1.45	0.87
— 84.1	1.61	0.94	1.77	1.27	1.48	0.82	1.52	0.94
— 78.0	1.70	1.05	1.80	1.30	1.53	0.86	1.60	1.03
— 74.6	—	—	1.86	1.35	1.65	1.01	1.75	1.13
— 65.3	1.85	1.20	1.95	1.45	1.58	0.90	—	—
— 63.4	—	—	1.98	1.48	1.69	1.02	—	—
— 58.9	1.95	1.30	2.03	1.54	1.72	1.08	1.80	1.20
— 45.8	2.10	1.45	2.15	1.68	1.82	1.15	1.95	1.35
— 27.0	2.25	1.60	2.25	1.71	1.92	1.30	2.05	1.45
— 23.2	2.30	1.65	2.25	1.75	2.00	1.33	2.08	1.49
— 18.4	2.32	1.68	—	—	—	—	—	—
— 17.7	—	—	2.30	1.80	2.03	1.38	2.10	1.52
— 12.7	2.37	1.76	2.35	1.85	2.07	1.43	2.45	1.57
— 5.4	2.50	1.85	2.45	1.95	2.17	1.53	2.20	1.60

ТАБЛИЦА 3 (продолжение)

Угол фазы	Номер детали							
	13		14		15		16	
	$\lg B_c$	$\lg B_{\text{ИК}}$	$\lg B_c$	$\lg B_{\text{ИК}}$	$\lg B_c$	$\lg B_{\text{ИК}}$	$\lg B_c$	$\lg B_{\text{ИК}}$
+ 4°7	2.52	1.84	2.44	1.95	2.48	1.51	2.23	1.67
+ 9.0	2.40	1.77	2.40	1.88	2.14	1.46	2.18	1.62
+ 15.2	2.33	1.66	2.30	1.80	2.05	1.36	2.13	1.56
+ 15.7	2.26	1.61	—	—	2.03	1.35	—	—
+ 20.4	2.10	1.40	2.47	1.65	1.99	1.34	2.05	1.50
+ 22.9	1.93	1.30	2.10	1.60	1.93	1.28	2.00	1.45
+ 33.4	1.70	1.05	—	—	1.78	1.10	1.90	1.31
+ 39.4	1.60	0.98	—	—	—	—	1.81	1.24
+ 45.7	—	—	—	—	—	—	1.78	1.17
	17		18		19		20	
— 89°3	1.53	0.98	1.45	0.90	1.49	0.87	1.22	0.58
— 84.4	1.61	1.07	1.50	0.94	1.60	0.95	1.30	0.65
— 78.0	1.66	1.13	—	—	1.70	1.06	1.45	0.80
— 75.2	—	—	1.65	1.10	—	—	—	—
— 74.6	—	—	—	—	—	—	—	—
— 65.3	1.82	1.28	1.80	1.21	1.90	1.26	1.65	0.98
— 63.4	1.85	1.30	—	—	—	—	1.70	1.02
— 58.9	1.90	1.35	1.85	1.29	1.95	1.30	1.75	1.07
— 45.8	2.00	1.45	2.00	1.40	2.01	1.40	1.88	1.18
— 27.0	—	—	2.08	1.50	2.13	1.50	2.00	1.31
— 25.9	2.12	1.58	—	—	—	—	—	—
— 23.2	2.15	1.62	2.10	1.52	2.15	1.52	2.05	1.35
— 18.4	2.21	1.67	2.15	1.54	2.20	1.58	—	—
— 17.7	—	—	—	—	—	—	2.10	1.41
— 13.4	—	—	2.18	1.59	—	—	—	—
— 12.7	2.25	1.71	—	—	2.25	1.63	2.14	1.47
— 5.1	2.35	1.80	2.27	1.68	2.32	1.67	2.22	1.58
+ 4.7	—	—	—	—	2.35	1.70	2.23	1.59
+ 5.4	2.35	1.80	2.30	1.70	—	—	—	—
+ 9.0	2.30	1.75	2.26	1.66	2.32	1.65	2.11	1.41
+ 15.2	—	—	2.20	1.60	2.25	1.62	2.04	1.34
+ 15.7	2.15	1.59	—	—	—	—	—	—
+ 20.4	2.05	1.50	2.13	1.57	2.20	1.55	1.98	1.27
+ 22.9	1.97	1.41	2.07	1.50	2.15	1.50	1.92	1.21
+ 33.4	1.55	0.99	1.90	1.30	1.98	1.32	1.73	1.08
+ 38.7	—	—	1.75	1.15	—	—	—	—
+ 39.0	1.30	0.75	—	—	1.84	1.20	1.62	0.98
+ 45.7	—	—	1.59	1.00	1.68	0.95	1.50	0.86
+ 52.4	—	—	—	—	1.20	0.59	—	—
+ 52.7	—	—	—	—	—	—	1.35	0.70
+ 60.5	—	—	—	—	—	—	1.21	0.56
	21		22		23		24	
— 89°3	1.25	0.69	1.28	0.62	1.54	1.00	1.64	1.00
— 84.4	1.35	0.79	1.31	0.67	1.60	1.10	1.71	1.05
— 78.0	1.45	0.94	1.40	0.75	—	—	—	—
— 75.2	—	—	—	—	1.75	1.20	1.85	1.13
— 74.6	1.50	0.99	1.45	0.80	—	—	—	—
— 65.3	1.65	1.11	1.60	0.96	1.90	1.35	1.95	1.35
— 63.4	—	—	1.63	0.97	—	—	—	—
— 58.9	1.70	1.19	1.67	1.00	2.00	1.45	2.05	1.35
— 45.8	1.85	1.29	1.80	1.12	2.10	1.60	2.25	1.55

ТАБЛИЦА 3 (продолжение)

Угол фазы	Номер детали							
	21		22		23		24	
	$\lg B_c$	$\lg B_{ik}$	$\lg B_c$	$\lg B_{ik}$	$\lg B_c$	$\lg B_{ik}$	$\lg B_c$	$\lg B_{ik}$
- 27°0	1.96	1.42	1.92	1.28	2.26	1.70	2.39	1.70
- 23.2	2.00	1.45	1.95	1.31	2.30	1.76	2.40	1.71
- 18.4	-	-	-	-	2.35	1.83	2.42	1.72
- 17.7	2.02	1.49	2.00	1.37	-	-	-	-
- 12.7	2.04	1.56	2.03	1.41	2.40	1.87	2.44	1.75
- 5.1	2.15	1.64	2.15	1.50	2.45	1.90	2.46	1.80
+ 4.7	2.20	1.66	2.18	1.54	-	-	-	-
+ 5.4	-	-	-	-	2.49	1.93	2.54	1.88
+ 9.0	2.16	1.62	2.13	1.45	2.47	1.89	2.53	1.85
+ 15.2	2.06	1.53	2.04	1.40	2.35	1.81	2.45	1.77
+ 20.4	2.00	1.49	1.98	1.33	2.31	1.73	2.38	1.70
+ 22.9	1.96	1.43	1.93	1.27	2.25	1.65	2.33	1.68
+ 33.4	1.80	1.25	1.72	1.03	2.01	1.40	2.10	1.45
+ 38.7	-	-	-	-	1.86	1.26	2.00	1.31
+ 39.4	1.63	1.09	1.52	0.88	-	-	-	-
+ 45.7	1.38	0.86	1.31	0.64	1.70	1.11	-	-
+ 47.3	-	-	-	-	-	-	-	-
+ 52.1	1.10	0.56	0.92	0.27	-	-	1.80	1.40
+ 53.1	-	-	-	-	1.45	0.85	1.60	0.90
+ 59.9	-	-	-	-	0.90	0.30	1.35	0.67
	25		26		27		28	
- 89°3	1.50	1.00	1.35	0.90	1.28	0.58	1.50	0.94
- 84.4	1.60	1.09	1.42	0.96	1.51	0.86	1.66	1.07
- 78.0	-	-	1.45	1.01	1.65	0.95	-	-
- 75.2	1.75	1.25	1.47	1.04	-	-	1.80	1.20
- 74.6	-	-	-	-	1.70	1.00	-	-
- 65.3	1.85	1.35	1.55	1.10	1.75	1.40	1.90	1.36
- 63.1	1.90	1.40	1.58	1.12	1.78	1.13	-	-
- 58.9	1.98	1.45	1.60	1.14	1.82	1.16	2.00	1.43
- 46.8	2.00	1.52	1.75	1.30	1.90	1.25	2.15	1.55
- 27.0	2.40	1.60	1.98	1.48	2.06	1.40	2.34	1.75
- 23.2	2.15	1.62	2.10	1.63	2.10	1.47	2.35	1.80
- 18.4	2.16	1.67	-	-	-	-	-	-
- 17.7	-	-	2.45	1.70	2.15	-	-	-
- 13.4	-	-	2.26	1.81	2.15	1.54	2.40	1.85
- 12.7	2.24	1.74	-	-	2.23	1.57	2.45	1.91
- 5.1	2.29	1.78	2.40	1.91	2.35	1.70	2.53	1.97
+ 4.7	-	-	2.42	1.95	2.38	1.72	-	-
+ 5.4	2.30	1.79	-	-	-	-	2.55	1.96
+ 9.0	2.26	1.79	2.33	1.87	2.37	1.67	2.46	1.91
+ 15.2	2.23	1.76	2.28	1.82	2.30	1.63	2.36	1.79
+ 15.7	2.20	1.72	2.26	1.80	-	-	-	-
+ 20.1	2.15	1.65	2.20	1.76	2.24	1.58	2.28	1.75
+ 22.9	2.10	1.66	2.17	1.70	2.20	1.55	2.20	1.65
+ 33.4	1.85	1.35	2.00	1.55	2.10	1.48	2.02	1.50
+ 39.4	1.70	1.22	1.90	1.44	2.02	1.42	1.94	1.43
+ 45.7	-	-	1.76	1.28	1.88	1.22	1.87	1.34
+ 47.3	1.45	0.95	-	-	-	-	-	-
+ 52.4	-	-	-	-	1.72	1.05	1.75	1.20
+ 52.7	-	-	1.61	1.12	-	-	-	-
+ 53.1	1.10	0.60	-	-	-	-	-	-
+ 59.9	-	-	-	-	-	-	-	-
+ 60.5	-	-	1.41	0.98	1.36	0.76	-	-

ТАБЛИЦА 3 (продолжение)

Угол фазы	Номер детали							
	29		30		31		32	
	$\lg B_c$	$\lg B_{IK}$	$\lg B_c$	$\lg B_{IK}$	$\lg B_c$	$\lg B_{IK}$	$\lg B_c$	$\lg B_{IK}$
— 89°3	1.17	0.59	1.35	0.85	1.36	0.83	1.34	0.84
— 84.1	1.27	0.69	1.46	0.99	1.44	0.97	1.52	0.97
— 78.0	1.40	0.81	1.55	1.05	1.60	1.09	1.70	1.15
— 74.6	1.50	0.88	1.60	1.15	1.65	1.16	—	—
— 65.3	1.65	1.05	1.75	1.26	1.75	1.24	1.85	1.30
— 63.1	1.67	1.06	1.77	1.30	1.77	1.27	—	—
— 58.9	1.70	1.09	1.80	1.33	1.80	1.33	1.95	1.43
— 45.8	1.82	1.20	1.95	1.49	1.90	1.45	2.00	1.50
— 27.0	1.94	1.31	2.10	1.62	2.04	1.55	2.18	1.61
— 23.2	1.98	1.37	2.14	1.64	2.08	1.58	2.23	1.66
— 18.4	—	—	—	—	—	—	2.25	1.72
— 17.7	2.03	1.41	2.15	1.70	2.10	1.60	—	—
— 12.7	2.08	1.45	2.21	1.71	2.17	1.64	2.30	1.79
— 5.1	2.18	1.55	2.30	1.82	2.25	1.75	2.35	1.83
+ 4.7	2.18	1.56	2.30	1.82	2.25	1.75	2.38	1.85
+ 9.0	2.13	1.51	2.26	1.81	2.23	1.72	2.34	1.79
+ 15.2	2.05	1.42	2.20	1.73	2.16	1.68	2.33	1.76
+ 15.7	—	—	1.19	1.72	—	—	—	—
+ 20.1	2.00	1.36	2.15	1.66	2.13	1.64	2.27	1.71
+ 22.9	1.96	1.32	2.12	1.66	2.10	1.60	2.25	1.68
+ 33.4	1.80	1.16	1.98	1.50	1.95	1.50	2.06	1.55
+ 39.4	1.75	1.02	1.90	1.44	1.85	1.40	1.95	1.40
+ 45.7	1.55	0.92	1.80	1.29	1.75	1.29	1.80	1.25
+ 52.1	1.37	0.75	1.62	1.17	1.57	1.11	1.69	1.11
+ 59.9	—	—	—	—	—	—	1.53	0.98
+ 60.5	1.09	0.49	1.40	0.93	1.30	0.83	—	—
	33		34		35		36	
— 89°3	—	—	1.01	0.45	1.40	0.70	1.10	0.63
— 84.1	1.06	0.40	1.28	0.64	1.54	0.85	1.30	0.81
— 78.0	—	—	1.40	0.82	1.67	1.01	1.45	1.00
— 76.4	1.15	0.56	—	—	—	—	—	—
— 75.2	—	—	1.45	0.90	1.72	1.06	—	—
— 74.6	—	—	—	—	—	—	1.50	1.07
— 65.3	1.35	0.71	1.60	1.03	1.85	1.22	1.70	1.22
— 63.1	1.40	0.80	—	—	—	—	1.75	1.25
— 58.9	1.45	0.84	1.70	1.13	1.95	1.29	1.80	1.30
— 45.8	1.65	1.05	—	—	2.05	1.40	1.95	1.45
— 27.0	1.93	1.30	1.95	1.35	2.18	1.50	2.06	1.60
— 23.2	2.00	1.38	2.00	1.40	2.23	1.56	2.10	1.63
— 18.4	—	—	2.05	1.44	2.26	1.60	—	—
— 17.7	2.10	1.45	—	—	—	—	2.12	1.68
— 12.7	2.20	1.58	2.14	1.66	2.30	1.64	2.20	1.74
— 5.1	2.35	1.70	2.20	1.65	2.35	1.70	2.30	1.85
+ 4.7	—	—	2.24	1.69	2.38	1.72	2.35	1.87
+ 5.4	2.40	1.73	—	—	—	—	—	—
+ 9.0	2.34	1.68	2.20	1.65	2.36	1.70	2.30	1.84
+ 15.2	2.26	1.65	2.13	1.58	2.30	1.65	2.25	1.80
+ 15.7	2.25	1.62	—	—	—	—	—	—
+ 20.1	2.23	1.59	2.06	1.49	2.27	1.60	2.20	1.70
+ 22.9	2.20	1.55	2.03	1.48	2.23	1.57	2.15	1.67
+ 33.4	2.10	1.48	1.93	1.37	2.16	1.46	2.03	1.55
+ 38.7	2.04	1.40	—	—	—	—	—	—
+ 39.0	—	—	1.86	1.30	2.08	1.41	1.95	1.47
+ 45.7	1.96	1.31	1.75	1.20	—	—	1.85	1.35

ТАБЛИЦА 3 (продолжение)

Угол фазы	Номер детали							
	33		34		35		36	
	$\lg B_c$	$\lg B_{\text{ИК}}$	$\lg B_c$	$\lg B_{\text{ИК}}$	$\lg B_c$	$\lg B_{\text{ИК}}$	$\lg B_c$	$\lg B_{\text{ИК}}$
+ 47°3	—	—	—	—	4.90	4.22	—	—
+ 52.1	1.85	1.47	1.60	1.05	1.78	1.15	1.74	1.23
+ 59.9	1.70	1.05	1.28	0.70	—	—	—	—
+ 60.5	—	—	—	—	1.52	0.85	1.53	1.04
+ 64.8	—	—	—	—	—	—	1.23	0.76
	37		38		39		40	
— 89°3	1.30	0.76	1.09	0.48	1.00	0.41	1.58	1.08
— 84.1	1.39	0.80	1.16	0.55	1.03	0.46	1.70	1.16
— 78.0	—	—	1.25	0.65	1.40	0.83	—	—
— 75.2	1.43	0.85	—	—	—	—	1.80	1.25
— 74.6	—	—	1.30	0.69	—	—	—	—
— 65.3	1.55	0.98	1.50	0.88	1.65	1.04	1.90	1.39
— 63.1	1.58	1.00	1.55	0.89	—	—	—	—
— 58.9	1.64	1.05	1.60	0.96	1.70	1.13	1.95	1.44
— 45.8	1.80	1.20	1.80	1.15	1.85	1.25	2.10	1.59
— 27.0	2.10	1.50	1.90	1.28	2.02	1.42	2.26	1.74
— 23.2	2.17	1.57	1.95	1.33	2.07	1.45	2.30	1.77
— 18.4	—	—	—	—	2.10	1.48	—	—
— 17.7	2.30	1.69	2.00	1.39	—	—	2.35	1.82
— 13.4	2.35	1.76	—	—	2.45	1.53	2.40	1.85
— 12.7	—	—	2.40	1.48	—	—	—	—
— 5.1	2.45	1.85	2.20	1.55	2.25	1.65	2.45	1.91
+ 4.7	2.46	1.85	2.22	1.60	—	—	—	—
+ 5.4	—	—	—	—	2.55	1.92	2.48	1.92
+ 9.0	2.41	1.82	2.17	1.54	2.30	1.70	2.40	1.88
+ 15.2	2.36	1.76	2.13	1.49	2.24	1.62	2.35	1.84
+ 15.7	2.35	1.74	—	—	—	—	—	—
+ 20.1	2.32	1.72	2.10	1.43	2.21	1.61	2.29	1.76
+ 22.9	2.28	1.67	2.05	1.40	2.20	1.58	2.25	1.74
+ 33.4	2.12	1.51	1.93	1.28	2.08	1.47	2.10	1.59
+ 39.0	2.04	1.43	—	—	—	—	—	—
+ 39.4	—	—	1.85	1.23	2.00	1.40	2.00	1.49
+ 45.7	—	—	1.79	1.10	—	—	1.95	1.44
+ 47.3	1.88	1.28	—	—	1.88	1.26	—	—
+ 52.1	—	—	—	—	—	—	1.81	1.29
+ 52.7	1.80	1.19	1.65	0.97	1.75	1.16	—	—
+ 59.9	—	—	—	—	1.60	1.00	1.70	1.19
+ 60.5	1.67	1.07	1.33	0.64	—	—	—	—
+ 65.1	1.60	1.00	—	—	1.42	0.84	1.67	1.08
+ 77.5	—	—	—	—	1.05	0.48	—	—
+ 78.7	—	—	—	—	—	—	1.40	0.84
+ 89.6	—	—	—	—	—	—	1.15	0.58
	41		42		43		44	
— 89°3	—	—	—	—	0.84	0.32	—	—
— 84.1	0.97	0.37	1.19	0.65	1.07	0.51	1.00	0.45
— 78.0	1.30	0.65	1.40	0.74	—	—	—	—
— 77.5	—	—	1.45	0.85	1.30	0.77	—	—
— 75.2	—	—	—	—	—	—	1.25	0.68
— 65.3	1.60	0.97	1.70	1.14	1.60	1.05	1.50	0.95
— 58.9	1.70	1.05	1.85	1.28	1.75	1.45	1.63	1.05

ТАБЛИЦА 3 (продолжение)

Угол фазы	Номер детали							
	41		42		43		44	
	$\lg B_c$	$\lg B_{\text{ИК}}$	$\lg B_c$	$\lg B_{\text{ИК}}$	$\lg B_c$	$\lg B_{\text{ИК}}$	$\lg B_c$	$\lg B_{\text{ИК}}$
— 45°8	1.85	1.25	2.00	1.45	1.90	1.34	1.85	1.30
— 27.0	2.05	1.40	2.15	1.60	2.10	1.50	2.00	1.45
— 23.2	2.10	1.45	2.20	1.65	2.15	1.55	2.05	1.50
— 18.4	2.15	1.55	2.25	1.69	—	—	2.10	1.54
— 17.7	—	—	—	—	2.20	1.64	—	—
— 13.4	2.20	1.60	2.35	1.75	—	—	2.15	1.57
— 12.7	—	—	—	—	2.30	1.72	—	—
— 5.4	2.35	1.70	2.43	1.90	2.38	1.80	2.25	1.70
+ 4.7	—	—	—	—	2.42	1.85	2.44	1.76
+ 5.4	2.36	1.75	2.50	1.95	—	—	—	—
+ 9.0	2.31	1.72	2.47	1.89	2.40	1.80	2.30	1.71
+ 15.2	2.30	1.64	2.40	1.83	2.35	1.77	2.25	1.65
+ 20.1	2.25	1.60	2.35	1.75	2.30	1.75	2.20	1.59
+ 22.9	2.20	1.55	2.30	1.70	2.28	1.72	2.15	1.55
+ 33.4	2.10	1.45	2.15	1.60	2.15	1.60	2.00	1.45
+ 38.7	—	—	—	—	—	—	1.95	1.45
+ 39.0	2.00	1.35	2.05	1.50	2.05	1.50	—	—
+ 45.7	1.93	1.30	—	—	1.95	1.40	—	—
+ 47.3	—	—	1.95	1.40	—	—	1.85	1.30
+ 52.7	1.79	1.20	1.80	1.26	1.80	1.27	—	—
+ 53.1	—	—	—	—	—	—	1.76	1.20
+ 59.9	1.64	1.00	1.65	1.10	1.65	1.15	1.60	0.99
+ 64.0	—	—	1.55	1.05	—	—	1.50	0.95
+ 64.8	—	—	—	—	1.54	1.00	—	—
+ 65.1	1.45	0.85	—	—	—	—	—	—
+ 77.5	—	—	1.25	0.70	—	—	—	—
+ 78.4	0.80	0.20	—	—	1.20	0.65	1.23	0.65
	45		46		47		48	
— 89°3	0.93	0.34	—	—	—	—	—	—
— 84.1	1.02	0.42	—	—	—	—	0.80	0.12
— 78.0	—	—	—	—	—	—	1.00	0.30
— 76.4	—	—	1.15	0.60	—	—	—	—
— 75.2	1.17	0.60	—	—	—	—	1.10	0.40
— 65.3	1.37	0.80	1.40	0.90	1.30	0.64	1.30	0.65
— 63.1	—	—	—	—	1.37	0.70	1.35	0.70
— 58.9	1.47	0.90	1.50	0.97	1.45	0.80	1.45	0.80
— 45.8	1.67	1.10	1.75	1.20	1.68	1.02	1.65	1.00
— 27.0	1.95	1.36	1.90	1.35	1.85	1.20	1.91	1.25
— 23.2	2.06	1.46	—	—	1.92	1.28	1.96	1.30
— 18.4	—	—	1.95	1.42	—	—	—	—
— 17.7	2.12	1.52	—	—	1.95	1.32	2.01	1.36
— 13.4	2.17	1.63	2.05	1.54	—	—	2.11	1.45
— 12.7	—	—	—	—	2.04	1.37	—	—
— 5.4	2.27	1.71	2.20	1.65	2.15	1.50	2.22	1.58
+ 4.7	2.28	1.74	—	—	2.20	1.55	2.25	1.62
+ 5.4	—	—	2.25	1.69	—	—	—	—
+ 9.0	2.22	1.71	1.22	1.65	2.17	1.52	2.21	1.57
+ 15.2	2.17	1.65	2.17	1.60	2.13	1.47	2.14	1.50
+ 20.1	2.15	1.60	2.13	1.56	2.07	1.43	2.11	1.45
+ 22.9	2.07	1.55	2.07	1.51	2.05	1.40	2.05	1.38
+ 33.4	1.92	1.40	1.95	1.39	1.96	1.30	1.95	1.30
+ 38.7	1.82	1.30	1.89	1.33	1.90	1.23	1.91	1.23
+ 45.7	1.72	1.20	1.80	1.23	1.82	1.20	—	—
+ 47.3	—	—	—	—	—	—	1.80	1.45

ТАБЛИЦА 3 (продолжение)

Угол фазы	Номер детали							
	45		46		47		48	
	$\lg B_c$	$\lg B_{ik}$	$\lg B_c$	$\lg B_{ik}$	$\lg B_c$	$\lg B_{ik}$	$\lg B_c$	$\lg B_{ik}$
+ 52°7	1.67	1.45	4.69	4.42	1.74	1.43	1.72	1.07
+ 59.9	—	—	4.58	4.01	—	—	—	—
+ 60.5	1.57	1.40	—	—	1.66	1.04	1.60	0.95
+ 64.8	1.54	1.00	—	—	—	—	—	—
+ 65.4	—	—	4.47	0.91	4.58	0.95	4.52	0.86
+ 77.5	—	—	4.24	0.68	4.38	0.75	—	—
+ 78.7	1.42	0.90	—	—	—	—	4.32	0.66
+ 89.6	—	—	—	—	4.11	0.50	—	—
+ 90.5	1.28	0.75	—	—	—	—	4.10	0.42
	49		50		51		52	
— 78°0	—	—	—	—	—	—	1.40	0.75
— 65.3	1.51	0.94	4.40	0.80	—	—	—	—
— 64.9	—	—	—	—	4.55	0.90	1.65	1.02
— 58.9	1.61	1.01	4.50	0.87	4.75	1.46	1.85	1.49
— 45.8	1.96	1.37	4.65	4.10	2.00	1.35	2.06	1.42
— 27.0	2.19	1.56	4.90	4.30	2.30	1.65	2.24	1.64
— 23.2	2.21	1.58	4.95	4.40	2.38	1.69	2.30	1.67
— 18.4	2.26	1.66	4.05	4.42	2.42	1.80	2.35	1.67
— 13.4	—	—	4.45	4.51	—	—	—	—
— 12.7	2.36	1.74	—	—	2.50	1.85	2.40	1.70
— 5.1	2.46	1.93	2.25	4.65	2.58	1.95	2.45	1.80
+ 4.7	2.54	1.92	2.27	4.68	—	—	—	—
+ 5.4	—	—	—	—	2.62	2.00	2.52	1.87
+ 9.0	2.52	1.89	2.21	4.62	2.65	2.04	2.57	1.90
+ 15.2	2.46	1.87	2.45	4.55	2.60	1.97	2.52	1.87
+ 20.1	2.44	1.83	2.09	4.48	2.53	1.88	2.40	1.77
+ 22.9	2.38	1.77	2.06	4.47	2.50	1.85	2.30	1.66
+ 33.4	2.29	1.67	4.98	4.40	2.30	1.65	2.20	1.53
+ 39.4	2.17	1.62	4.93	4.33	2.22	1.54	2.13	1.48
+ 45.7	2.11	1.52	4.87	4.26	4.11	1.48	2.06	1.42
+ 52.7	1.92	1.38	4.80	4.21	2.06	4.44	1.97	1.33
+ 59.9	1.85	1.21	—	—	2.00	4.40	1.83	1.20
+ 60.5	—	—	4.71	4.10	—	—	—	—
+ 63.7	—	—	—	—	4.85	4.21	4.74	4.12
+ 65.1	1.79	1.19	4.61	4.01	—	—	—	—
+ 77.5	1.58	1.00	4.40	0.85	—	—	—	—
+ 78.7	—	—	—	—	4.85	4.21	4.47	0.85
+ 89.6	—	—	—	—	4.60	0.95	4.20	0.57
+ 90.5	—	—	4.10	0.52	—	—	—	—
	53		54		55		56	
— 89°3	—	—	—	—	—	—	4.54	0.75
— 65.3	—	—	—	—	4.30	0.77	4.75	0.90
— 64.9	—	—	4.25	0.68	—	—	—	—
— 58.9	1.40	0.72	4.40	0.81	4.50	0.97	4.78	0.95
— 45.8	1.70	1.05	4.60	4.00	4.80	4.20	4.90	4.10
— 27.0	1.88	1.25	4.95	4.33	2.08	4.50	2.10	1.32
— 25.9	—	—	—	—	—	—	2.42	1.33
— 23.2	1.90	1.28	4.02	4.39	2.45	4.56	2.45	1.40
— 18.4	—	—	4.09	4.51	2.20	4.65	—	—
— 17.7	1.95	1.32	—	—	—	—	2.21	1.64

ТАБЛИЦА 3 (продолжение)

Угол фазы	Номер детали							
	53		54		55		56	
	$\lg B_c$	$\lg B_{IK}$	$\lg B_c$	$\lg B_{IK}$	$\lg B_c$	$\lg B_{IK}$	$\lg B_c$	$\lg B_{IK}$
- 12°7	2.00	1.36	2.14	1.55	2.30	1.70	2.31	1.74
- 5.1	2.45	1.50	2.25	1.65	2.35	1.75	2.41	1.92
+ 4.7	2.22	1.55	2.30	1.70	2.45	1.85	-	-
+ 5.4	-	-	-	-	-	-	-	-
+ 9.0	2.19	1.54	2.24	1.65	2.45	1.84	2.43	1.95
+ 15.2	2.15	1.52	2.22	1.59	2.40	1.80	2.35	1.87
+ 15.7	-	-	-	-	-	-	2.33	1.85
+ 20.4	2.11	1.48	2.10	1.53	2.25	1.65	2.30	1.80
+ 22.9	2.08	1.45	2.07	1.50	2.21	1.60	2.25	1.78
+ 33.4	2.00	1.37	2.00	1.40	2.05	1.45	2.11	1.65
+ 38.7	1.96	1.33	1.95	1.35	1.98	1.42	2.06	1.55
+ 45.7	1.85	1.23	1.85	1.28	1.95	1.35	2.01	1.50
+ 52.7	1.77	1.15	-	-	1.85	1.26	1.90	1.44
+ 53.1	-	-	1.78	1.20	-	-	-	-
+ 59.9	-	-	1.70	1.14	1.75	1.15	1.84	1.34
+ 60.5	1.68	1.03	-	-	-	-	-	-
+ 64.0	-	-	1.64	1.06	-	-	-	-
+ 64.8	-	-	-	-	1.67	1.15	-	-
+ 65.1	1.58	0.96	-	-	-	-	-	-
+ 77.5	-	-	1.48	0.88	-	-	1.74	1.16
+ 78.7	1.34	0.72	-	-	1.45	0.87	1.50	0.80
+ 89.6	-	-	1.31	0.71	1.15	0.58	1.48	0.79
+ 90.5	-	-	-	-	-	-	1.20	0.36
	57		58		59		60	
- 65°3	-	-	1.20	0.64	1.30	0.75	1.30	0.70
- 58.9	1.35	0.70	1.48	0.85	1.50	0.92	1.50	0.90
- 45.8	1.70	1.05	1.75	1.15	1.65	1.10	1.80	1.20
- 27.0	1.95	1.30	1.94	1.34	1.88	1.35	1.98	1.40
- 23.2	2.00	1.31	2.02	1.39	1.95	1.43	2.00	1.43
- 18.4	-	-	2.05	1.45	2.01	1.49	2.07	1.47
- 17.7	2.05	1.37	-	-	-	-	-	-
- 13.4	-	-	2.15	1.53	2.10	1.57	-	-
- 12.7	2.10	1.45	-	-	-	-	-	-
- 5.1	2.25	1.60	2.25	1.65	2.20	1.70	2.14	1.56
+ 4.7	2.30	1.65	-	-	2.23	1.74	2.30	1.70
+ 5.4	-	-	2.32	1.74	-	-	-	-
+ 9.0	2.26	1.60	2.29	1.72	2.15	1.67	2.34	1.72
+ 15.2	2.21	1.57	2.25	1.69	2.10	1.62	2.28	1.69
+ 20.4	2.17	1.55	2.19	1.63	2.05	1.56	2.25	1.66
+ 22.9	2.13	1.50	2.15	1.60	2.00	1.50	2.20	1.60
+ 33.4	2.05	1.40	2.07	1.45	1.93	1.40	2.15	1.55
+ 38.7	-	-	2.00	1.43	-	-	2.05	1.48
+ 39.4	1.98	1.34	-	-	1.83	1.34	2.02	1.44
+ 45.7	1.90	1.25	1.95	1.40	1.81	1.31	-	-
+ 47.3	-	-	-	-	-	-	-	-
+ 52.4	1.79	1.15	-	-	-	-	1.90	1.30
+ 52.7	-	-	1.86	1.30	1.74	1.24	-	-
+ 53.4	-	-	-	-	-	-	-	-
+ 59.9	-	-	1.74	1.14	1.65	1.15	1.75	1.25
+ 60.5	1.68	1.05	-	-	-	-	1.61	1.00
+ 64.0	-	-	-	-	-	-	-	-
+ 65.4	1.59	0.96	1.65	1.06	1.56	1.07	1.50	0.92
+ 77.5	-	-	1.50	0.94	1.33	0.85	-	-
+ 78.7	1.35	0.71	-	-	-	-	1.41	0.80
+ 89.6	-	-	1.35	0.80	-	-	-	-
+ 90.5	-	-	-	-	1.10	0.54	1.12	0.55

ТАБЛИЦА 3 (продолжение)

Угол фазы	Номер детали							
	61		62		63		64	
	$\lg B_c$	$\lg B_{\text{ИК}}$	$\lg B_c$	$\lg B_{\text{ИК}}$	$\lg B_c$	$\lg B_{\text{ИК}}$	$\lg B_c$	$\lg B_{\text{ИК}}$
- 65°3	1.35	0.75	1.30	0.73	-	-	-	-
- 58.9	1.55	0.96	1.60	1.05	1.50	0.98	-	-
- 45.8	1.85	1.25	1.95	1.40	1.70	1.10	1.65	1.10
- 27.0	2.04	1.45	2.16	1.59	1.93	1.30	1.90	1.35
- 23.2	2.06	1.45	2.18	1.63	2.00	1.39	2.00	1.40
- 18.4	2.15	1.54	2.23	1.69	2.08	1.47	2.06	1.50
- 13.4	-	-	-	-	2.13	1.56	-	-
- 12.7	2.23	1.65	2.29	1.76	-	-	2.15	1.60
- 5.1	2.40	1.80	2.40	1.85	2.25	1.70	2.30	1.75
+ 4.7	-	-	-	-	2.25	1.69	-	-
+ 5.4	2.42	1.80	2.52	1.95	-	-	2.31	1.75
+ 9.0	2.39	1.77	2.56	2.00	2.20	1.63	2.28	1.71
+ 15.2	2.35	1.74	2.48	1.93	2.15	1.56	2.25	1.65
+ 20.1	2.25	1.66	2.43	1.83	2.10	1.49	2.20	1.59
+ 22.9	2.23	1.62	2.35	1.80	2.04	1.45	2.15	1.58
+ 33.4	2.15	1.55	2.25	1.70	1.95	1.35	2.05	1.49
+ 39.4	2.10	1.48	2.20	1.65	1.90	1.30	2.00	1.44
+ 45.7	-	-	2.10	1.60	1.85	1.25	1.95	1.38
+ 47.3	2.00	1.40	-	-	-	-	-	-
+ 53.1	1.86	1.25	2.06	1.50	1.76	1.20	1.90	1.31
+ 59.9	1.70	1.10	1.97	1.40	-	-	-	-
+ 64.8	1.60	1.00	-	-	1.72	1.10	-	-
+ 65.4	-	-	1.87	1.33	1.65	1.08	1.72	1.18
+ 71.5	-	-	-	-	1.45	0.90	-	-
+ 78.7	1.48	0.90	1.68	1.11	-	-	1.57	1.04
+ 89.6	1.10	0.50	1.51	0.92	-	-	1.30	0.71
+ 90.5	-	-	-	-	1.30	0.69	-	-
	65		66		67		68	
- 64°9	1.64	1.04	-	-	-	-	-	-
- 58.9	1.85	1.26	-	-	-	-	-	-
- 45.8	2.10	1.55	1.65	1.10	-	-	-	-
- 27.0	2.31	1.70	1.91	1.35	1.75	1.20	1.75	1.13
- 23.2	2.34	1.75	1.97	1.44	1.92	1.36	1.83	1.20
- 18.4	2.41	1.79	2.03	1.53	-	-	-	-
- 17.7	-	-	-	-	1.99	1.47	1.94	1.31
- 13.4	-	-	-	-	2.10	1.57	-	-
- 12.7	2.44	1.84	2.15	1.62	-	-	2.05	1.41
- 5.1	2.53	1.95	2.25	1.70	2.20	1.65	2.20	1.53
+ 4.7	2.55	1.96	-	-	2.25	1.68	-	-
+ 5.4	-	-	2.25	1.72	-	-	2.27	1.62
+ 9.0	2.49	1.89	2.22	1.69	2.21	1.68	2.25	1.56
+ 15.2	2.41	1.80	2.20	1.65	2.14	1.61	2.18	1.53
+ 15.7	2.40	1.79	2.18	1.63	-	-	-	-
+ 20.4	2.35	1.70	2.15	1.58	2.13	1.60	2.10	1.46
+ 22.9	2.28	1.65	2.09	1.55	2.10	1.55	2.07	1.40
+ 33.4	2.15	1.53	2.00	1.48	2.02	1.47	1.93	1.30
+ 38.7	2.05	1.48	1.98	1.46	-	-	1.88	1.23
+ 45.7	1.95	1.39	1.95	1.38	1.90	1.35	1.80	1.15
+ 52.7	1.84	1.25	1.87	1.34	1.85	1.27	1.70	1.06
+ 52.9	1.50	0.90	1.79	1.25	1.76	1.20	1.65	1.02
+ 64.8	-	-	-	-	-	-	1.58	1.00
+ 65.4	-	-	1.72	1.49	1.72	1.45	-	-
+ 78.7	-	-	1.56	1.03	1.59	1.06	1.43	0.86
+ 89.6	-	-	1.25	0.73	-	-	-	-
+ 90.5	-	-	-	-	1.46	0.93	1.29	0.83

ТАБЛИЦА 3 (продолжение)

Угол фазы	Номер детали							
	69		70		71		72	
	$\lg B_c$	$\lg B_{ИК}$	$\lg B_c$	$\lg B_{ИК}$	$\lg B_c$	$\lg B_{ИК}$	$\lg B_c$	$\lg B_{ИК}$
- 45.8	-	-	-	-	1.35	0.80	-	-
- 27.0	-	-	1.78	1.48	1.78	1.25	1.55	1.00
- 23.2	-	-	1.93	1.59	1.85	1.33	1.76	1.23
- 18.4	-	-	-	-	1.98	1.47	-	-
- 17.7	-	-	2.04	1.68	-	-	2.04	1.45
- 13.4	1.84	1.25	-	-	2.09	1.53	-	-
- 12.7	-	-	2.14	1.83	-	-	2.14	1.55
- 5.4	2.48	1.60	2.20	1.92	2.20	1.65	2.20	1.65
+ 4.7	2.23	1.64	2.25	1.90	2.22	1.65	2.25	1.68
+ 9.0	2.21	1.61	2.22	1.89	2.19	1.63	2.19	1.64
+ 15.2	2.16	1.57	2.18	1.85	2.15	1.60	2.18	1.61
+ 20.1	2.11	1.54	2.15	1.82	2.13	1.55	2.10	1.55
+ 22.9	2.08	1.51	2.12	1.78	2.10	1.5	2.06	1.50
+ 33.4	2.03	1.45	2.05	1.71	2.00	1.45	1.97	1.42
+ 39.4	1.99	1.42	2.01	1.67	1.91	1.40	1.92	1.36
+ 45.7	1.95	1.36	1.95	1.61	1.85	1.35	1.85	1.30
+ 52.1	-	-	1.87	1.57	1.79	1.28	1.77	1.25
+ 52.7	1.88	1.31	-	-	-	-	-	-
± 59.9	1.83	1.29	-	-	-	-	-	-
+ 60.5	-	-	1.80	1.43	1.69	1.24	1.71	1.16
+ 65.4	1.87	1.27	1.74	1.36	1.62	1.20	1.64	1.14
+ 77.5	1.73	1.15	-	-	-	-	-	-
+ 78.7	-	-	1.55	1.20	1.43	1.08	1.54	1.05
+ 90.5	1.68	1.09	1.35	1.03	1.30	1.00	1.30	0.97
+ 120.6	-	-	-	-	0.90	0.82	-	-
	73		74		75		76	
- 27.0	1.69	1.10	1.97	1.33	1.70	1.05	1.92	1.30
- 23.2	1.80	1.20	2.05	1.40	1.80	1.45	2.10	1.45
- 18.4	-	-	-	-	1.90	1.39	-	-
- 17.7	1.89	1.29	2.13	1.49	-	-	2.19	1.54
- 13.4	-	-	-	-	2.05	1.50	-	-
- 12.7	1.99	1.41	2.20	1.55	-	-	2.25	1.63
- 5.4	2.20	1.57	2.39	1.72	2.20	1.65	2.35	1.70
+ 4.7	2.28	1.64	2.49	1.82	-	-	2.36	1.72
+ 5.4	-	-	-	-	2.29	1.69	-	-
+ 9.0	-	-	2.48	1.79	2.24	1.68	2.33	1.69
+ 9.8	2.24	1.60	-	-	-	-	-	-
+ 15.2	2.20	1.57	2.40	1.73	2.20	1.62	2.30	1.66
+ 20.1	2.14	1.49	2.37	1.68	2.15	1.60	2.25	1.61
+ 22.9	2.10	1.45	2.31	1.65	2.12	1.57	2.22	1.58
+ 33.4	2.00	1.35	2.16	1.50	2.00	1.44	2.15	1.50
+ 38.7	1.90	1.24	2.06	1.41	1.92	1.37	2.14	1.48
+ 45.7	1.85	1.17	2.00	1.32	1.83	1.27	2.05	1.42
+ 47.3	1.84	1.15	-	-	-	-	-	-
+ 52.1	-	-	-	-	-	-	2.04	1.39
+ 52.7	1.76	1.09	1.96	1.28	1.76	1.21	-	-
+ 59.9	1.70	1.03	1.91	1.23	-	-	-	-
+ 60.0	-	-	-	-	1.67	1.12	-	-
+ 60.5	-	-	-	-	-	-	1.95	1.35
+ 64.8	1.62	0.94	1.85	1.15	-	-	-	-
+ 65.4	-	-	-	-	1.62	1.07	1.89	1.28
+ 77.5	-	-	-	-	1.47	0.92	-	-
+ 78.7	1.47	0.80	1.75	0.98	-	-	1.74	1.13
+ 89.7	1.30	0.65	-	-	-	-	-	-
+ 90.5	-	-	1.56	0.86	1.35	0.80	-	-

ТАБЛИЦА 3 (продолжение)

Угол фазы	Номер детали							
	77		78		79		80	
	$\lg B_c$	$\lg B_{ik}$	$\lg B_c$	$\lg B_{ik}$	$\lg B_c$	$\lg B_{ik}$	$\lg B_c$	$\lg B_{ik}$
- 27°0	-	-	4.96	4.30	4.85	4.35	4.62	4.25
- 23.2	-	-	2.01	4.35	4.96	4.46	4.80	4.45
- 18.4	-	-	2.07	4.39	-	-	4.90	4.51
- 17.7	-	-	-	-	2.05	4.55	-	-
- 13.4	-	-	2.14	4.48	-	-	-	-
- 12.7	1.78	4.14	-	-	2.45	4.68	4.96	4.58
- 5.1	2.15	4.55	2.25	4.60	2.35	4.85	2.20	4.85
+ 4.7	2.22	4.62	-	-	2.40	4.92	-	-
+ 5.4	-	-	2.31	4.65	-	-	2.24	4.89
+ 9.0	2.18	4.55	2.28	4.64	2.36	4.90	2.20	4.85
+ 15.2	2.10	4.50	2.23	4.60	2.30	4.85	2.14	4.79
+ 20.1	2.08	4.47	2.18	4.54	2.28	4.81	2.10	4.77
+ 22.9	2.05	4.44	2.15	4.48	2.23	4.75	2.07	4.74
+ 33.4	1.98	4.37	2.05	4.38	2.16	4.70	2.03	4.70
+ 38.7	-	-	1.98	4.33	-	-	-	-
+ 39.0	-	-	-	-	-	-	2.00	4.67
+ 39.4	1.95	4.35	-	-	2.43	4.67	-	-
+ 45.1	1.90	4.30	-	-	2.08	4.57	1.95	4.63
+ 47.3	-	-	1.92	4.28	-	-	-	-
+ 52.7	1.84	4.24	1.85	4.20	1.96	4.50	1.86	4.51
+ 59.9	1.77	4.17	-	-	1.86	4.40	1.75	4.42
+ 60.5	-	-	1.74	4.10	-	-	-	-
+ 64.8	1.76	4.15	-	-	1.82	4.37	1.73	4.38
+ 65.1	-	-	1.65	0.97	-	-	-	-
+ 77.5	1.68	4.05	-	-	-	-	1.57	4.23
+ 78.7	-	-	1.48	0.80	1.67	4.20	-	-
+ 90.5	1.54	0.91	1.09	0.46	1.51	4.04	1.41	4.08
+ 120.6	1.35	0.76	-	-	-	-	-	-
-								
	81		82		83		84	
- 27°0	1.85	1.23	4.75	4.45	2.40	4.30	4.67	4.07
- 23.2	1.91	1.30	4.90	4.30	2.45	4.36	4.80	4.20
- 18.4	-	-	-	-	-	-	4.90	4.29
- 17.7	2.02	4.41	4.98	4.38	2.55	4.49	-	-
- 13.4	-	-	2.10	4.50	-	-	-	-
- 12.7	2.10	4.49	-	-	2.68	4.59	2.00	4.35
- 5.1	2.26	4.65	2.40	4.85	2.85	4.80	2.25	4.60
+ 4.7	2.33	4.74	-	-	3.00	4.94	-	-
+ 5.4	-	-	2.48	4.89	-	-	2.33	4.66
+ 9.0	2.29	4.71	2.47	4.87	3.03	4.96	2.29	4.64
+ 15.2	2.25	4.67	-	-	3.05	4.94	-	-
+ 15.4	-	-	2.45	4.85	-	-	2.26	4.63
+ 20.1	2.20	4.63	2.40	4.80	3.00	4.84	2.19	4.57
+ 22.9	2.18	4.60	2.35	4.75	2.95	4.80	2.15	4.50
+ 33.4	2.10	4.50	2.25	4.65	2.80	4.67	2.10	4.45
+ 39.4	2.05	4.47	2.21	4.62	2.75	4.62	2.05	4.41
+ 45.7	2.02	4.43	2.18	4.58	2.65	4.53	-	-
+ 47.3	-	-	-	-	-	-	2.00	4.37
+ 52.7	1.95	4.38	2.10	4.53	2.55	4.43	4.95	4.34
+ 59.9	1.86	4.26	-	-	2.48	4.34	4.85	4.23
+ 60.5	-	-	2.04	4.45	-	-	-	-
+ 64.8	1.80	4.23	-	-	2.38	4.29	4.82	4.16
+ 65.1	-	-	1.99	4.42	-	-	-	-
+ 77.5	-	-	1.82	4.23	-	-	4.74	4.10
+ 78.7	1.65	4.07	-	-	2.22	4.12	-	-
+ 90.5	1.50	0.88	1.65	4.08	2.02	0.91	1.59	0.98
+ 120.6	-	-	-	-	1.30	0.47	4.32	0.71

ТАБЛИЦА 3 (продолжение)

Угол фазы	Номер детали							
	85		86		87		88	
	$\lg B_c$	$\lg B_{\text{ИК}}$	$\lg B_c$	$\lg B_{\text{ИК}}$	$\lg B_c$	$\lg B_{\text{ИК}}$	$\lg B_c$	$\lg B_{\text{ИК}}$
— 27°0	1.69	1.03	1.70	1.12	—	—	1.83	1.20
— 23.2	1.86	1.20	1.81	1.22	—	—	1.90	1.30
— 18.4	2.07	1.39	1.87	1.26	—	—	2.00	1.40
— 13.4	—	—	1.95	1.36	—	—	—	—
— 12.7	2.21	1.53	—	—	—	—	2.40	1.50
— 5.1	2.45	1.80	2.30	1.72	2.05	1.45	2.30	1.70
+ 4.7	—	—	—	—	—	—	2.35	1.74
+ 5.4	2.52	1.85	2.35	1.75	2.28	1.72	—	—
+ 9.0	2.50	1.82	2.30	1.72	2.25	1.71	2.33	1.73
+ 15.2	—	—	2.25	1.63	—	—	2.30	1.69
+ 15.7	2.44	1.76	—	—	2.18	1.62	—	—
+ 20.1	2.40	1.70	2.18	1.59	2.14	1.60	2.24	1.64
+ 22.9	2.34	1.65	2.13	1.55	2.13	1.57	2.20	1.60
+ 33.4	2.25	1.55	2.10	1.50	2.05	1.50	2.07	1.48
+ 38.7	—	—	2.10	1.49	—	—	—	—
+ 39.0	—	—	—	—	—	—	2.03	1.43
+ 39.4	2.20	1.53	—	—	2.02	1.45	—	—
+ 45.7	2.45	1.45	2.05	1.46	2.00	1.41	1.91	1.38
+ 52.1	—	—	1.98	1.39	—	—	—	—
+ 52.7	2.08	1.43	—	—	1.95	1.35	1.91	1.34
+ 59.9	2.00	1.34	1.89	1.30	—	—	1.85	1.28
+ 60.5	—	—	—	—	1.89	1.31	—	—
+ 65.1	1.94	1.28	1.84	1.23	1.87	1.28	1.81	1.20
+ 77.5	1.80	1.15	—	—	—	—	—	—
+ 78.7	—	—	1.77	1.17	1.72	1.17	1.77	1.17
+ 90.5	1.62	1.07	1.70	1.10	1.60	1.02	1.60	1.00
+ 120.6	1.35	0.70	1.48	0.87	1.40	0.84	1.10	0.50
	89		90		91		92	
— 27°0	1.62	1.03	1.74	1.17	1.78	1.20	—	—
— 23.2	1.67	1.08	1.80	1.23	1.80	1.22	—	—
— 18.4	1.73	1.15	1.86	1.30	1.90	1.30	—	—
— 13.4	1.82	1.25	—	—	—	—	—	—
— 12.7	—	—	2.00	1.40	2.00	1.40	1.65	1.09
— 5.1	2.10	1.50	2.30	1.73	2.30	1.70	2.22	1.60
+ 4.7	2.25	1.65	2.40	1.77	2.35	1.76	2.20	1.59
+ 9.0	2.22	1.61	2.38	1.76	2.33	1.74	2.17	1.58
+ 15.2	2.15	1.56	2.35	1.74	2.25	1.70	2.12	1.54
+ 20.1	2.11	1.51	2.30	1.69	2.20	1.65	2.07	1.50
+ 22.9	2.09	1.48	2.27	1.63	2.15	1.60	2.07	1.50
+ 33.4	2.00	1.40	2.15	1.50	2.06	1.50	2.01	1.43
+ 39.0	1.95	1.38	2.10	1.48	2.00	1.45	1.95	1.38
+ 45.7	1.90	1.30	2.05	1.40	1.90	1.42	1.92	1.35
+ 52.7	1.83	1.23	1.97	1.35	1.90	1.31	1.84	1.29
+ 59.9	1.76	1.15	1.90	1.30	1.85	1.26	1.78	1.23
+ 64.0	—	—	—	—	1.81	1.25	—	—
+ 65.1	1.70	1.10	1.85	1.25	—	—	1.76	1.19
+ 77.5	—	—	—	—	—	—	1.65	1.10
+ 78.7	1.50	0.90	1.74	1.17	1.75	1.19	—	—
+ 90.5	1.38	0.78	1.55	0.96	1.60	1.03	1.57	1.01
+ 120.6	—	—	1.10	0.50	1.15	0.60	1.42	0.88
	93		94		95		96	
— 127°	1.80	1.23	1.84	1.24	1.60	1.04	1.83	1.22
— 5.1	2.20	1.62	2.20	1.60	2.18	1.63	2.25	1.60
+ 5.4	2.20	1.63	2.24	1.65	2.23	1.65	2.27	1.65

ТАБЛИЦА 3 (продолжение)

Угол фазы	Номер детали							
	93		94		95		96	
	$\lg B_c$	$\lg B_{ik}$	$\lg B_c$	$\lg B_{ik}$	$\lg B_c$	$\lg B_{ik}$	$\lg B_c$	$\lg B_{ik}$
+ 9°0	2.16	1.57	2.23	1.64	2.19	1.62	2.23	1.61
+ 15.2	2.09	1.53	2.19	1.62	2.16	1.59	2.20	1.57
+ 20.4	2.06	1.51	2.19	1.60	2.11	1.56	2.17	1.51
+ 22.9	2.05	1.49	2.17	1.58	2.02	1.53	2.15	1.48
+ 33.4	1.99	1.42	2.08	1.53	2.00	1.46	2.07	1.40
+ 39.4	1.95	1.37	2.05	1.47	1.97	1.44	2.01	1.38
+ 45.7	1.90	1.35	2.00	1.43	1.95	1.40	1.95	1.33
+ 52.7	1.85	1.30	1.93	1.38	1.88	1.30	1.89	1.30
+ 59.9	1.82	1.22	1.91	1.31	1.82	1.21	1.86	1.23
+ 65.4	1.71	1.21	1.87	1.27	1.74	1.18	1.81	1.18
+ 77.5	1.67	1.11	1.76	1.17	1.67	1.08	1.73	1.10
+ 90.5	1.51	0.96	1.62	0.73	1.59	1.01	1.60	0.96
+ 120.6	1.25	0.68	1.35	0.73	1.45	0.91	1.45	0.50
	97		98		99		100	
- 18°4	1.33	0.75	—	—	1.95	1.25	—	—
- 17.7	—	—	1.63	1.00	—	—	—	—
- 12.7	1.45	0.86	1.95	1.34	2.00	1.40	2.03	1.46
- 5.1	2.20	1.55	2.15	1.55	2.20	1.55	2.55	1.97
+ 4.7	—	—	2.20	1.60	2.21	1.57	2.57	1.98
+ 5.4	2.31	1.70	—	—	—	—	—	—
+ 8.4	2.29	1.70	—	—	2.20	1.52	—	—
+ 9.0	2.30	1.70	2.14	1.53	2.19	1.51	2.47	1.90
+ 10.1	—	—	—	—	2.19	1.48	—	—
+ 15.2	2.25	1.65	—	—	2.09	1.44	—	—
+ 15.7	2.25	1.65	2.09	1.48	—	—	2.43	1.84
+ 20.4	2.21	1.60	2.05	1.45	2.08	1.98	2.40	1.82
+ 22.9	2.18	1.59	2.03	1.42	2.05	1.41	2.40	1.82
+ 33.4	2.06	1.43	1.95	1.36	1.95	1.32	2.35	1.78
+ 38.7	2.03	1.37	—	—	—	—	—	—
+ 39.4	2.03	1.37	1.90	1.31	1.92	1.85	2.30	1.73
+ 45.7	1.97	1.29	1.85	1.26	1.90	1.24	2.27	1.69
+ 47.3	1.95	1.23	—	—	1.89	1.23	—	—
+ 52.4	—	—	—	—	1.85	1.20	—	—
+ 52.7	1.92	1.45	1.80	1.20	—	—	2.17	1.64
+ 53.4	1.92	1.10	—	—	1.85	1.20	—	—
+ 59.9	1.86	1.03	1.76	1.43	—	—	2.15	1.60
+ 60.5	1.83	1.03	—	—	1.80	1.14	—	—
+ 64.0	1.80	1.00	—	—	1.76	1.10	—	—
+ 65.4	1.80	0.98	1.68	1.07	1.76	1.50	2.06	1.51
+ 77.5	1.70	1.86	1.56	0.95	1.63	0.93	—	—
+ 78.7	1.69	1.84	—	—	1.62	0.90	1.96	1.37
+ 89.6	1.60	0.71	—	—	1.48	0.82	1.84	1.32
+ 90.5	1.60	0.70	1.45	0.83	1.47	0.81	—	—
+ 120.6	1.30	0.44	1.20	0.60	—	—	1.52	0.95
	101			Угол фазы		101		
- 42°7	1.65	0.97	—	+ 33°4	2.18	—	1.49	—
- 5.1	2.15	1.50	—	+ 39.4	2.12	—	1.38	—
+ 4.7	2.45	1.80	—	+ 45.7	2.09	—	1.29	—
+ 9.0	2.41	1.78	—	+ 52.7	2.05	—	1.20	—
+ 15.2	2.38	1.69	—	+ 59.9	2.01	—	1.14	—
+ 20.4	2.28	1.65	—	+ 63.7	1.95	—	1.05	—
+ 22.9	2.26	1.60	—	+ 77.5	1.83	—	0.90	—
				+ 90.5	1.76	—	0.74	—
				+ 120.6	1.50	—	0.44	—

Нами были построены графики изменения величины $\Delta = \lg B_c - \lg B_{ik}$ в зависимости от угла фазы. Величину Δ можно считать своего рода

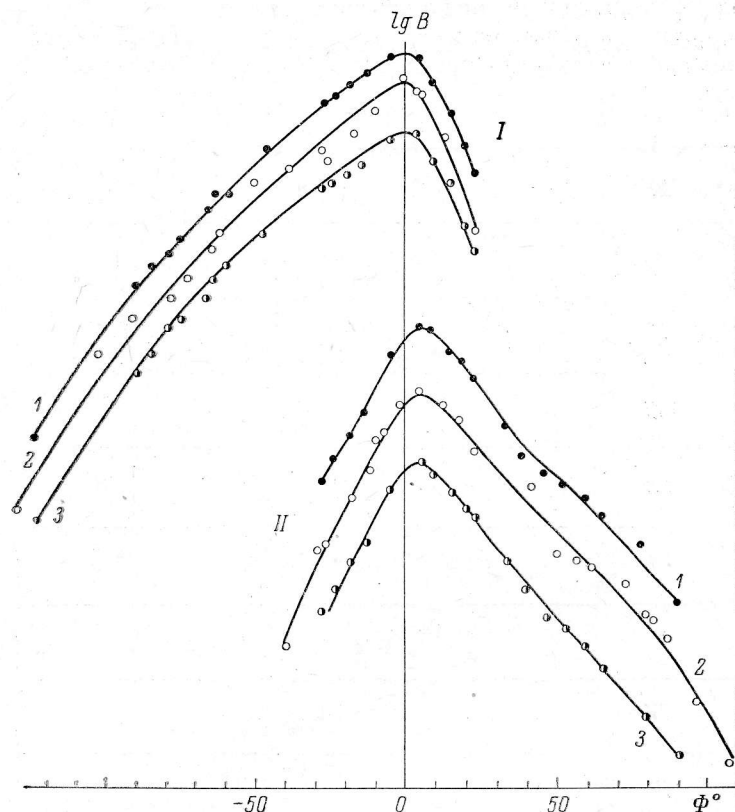


Рис. 3. Фазовые кривые для Моря Изобилия (I) и кратера Кеплер (II).

1 — 430 ммк; 2 — 550 ммк; 3 — 920 ммк.

«показателем цвета». На рис. 4 приведены такие кривые для исследованных горных участков Луны. Анализ этих кривых показывает, что изме-

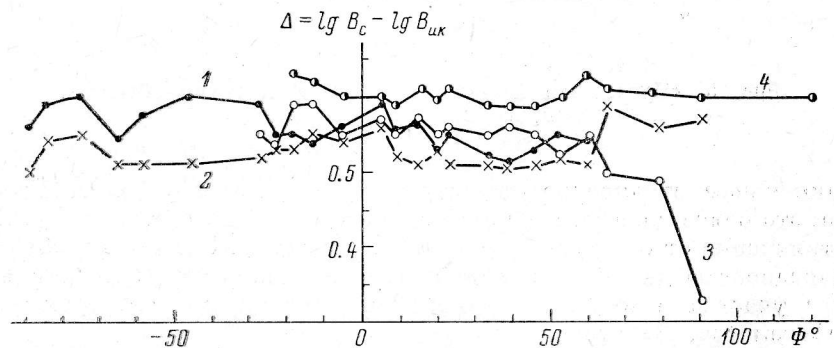


Рис. 4. Изменение величины $\Delta = \lg B_c - \lg B_{ik}$ с углом фазы для исследованных горных участков Луны.

1 — горная область севернее Моря Ясности; 2 — Апеннины; 3 — горная область восточнее Залива Радуги; 4 — горная область восточнее Океана Бурь.

ренные яркости в синей и инфракрасной областях спектра отличаются почти на постоянную величину. Большой разброс точек каждой отдель-

ной кривой объясняется характером и размерами изучаемого участка лунной поверхности.

В табл. 4 приводятся средние значения величины $\lg B_c - \lg B_{uk}$ и среднеквадратичные отклонения (σ) от них для каждой детали, а также средние значение этих величин для групп деталей или участков лунной поверхности.

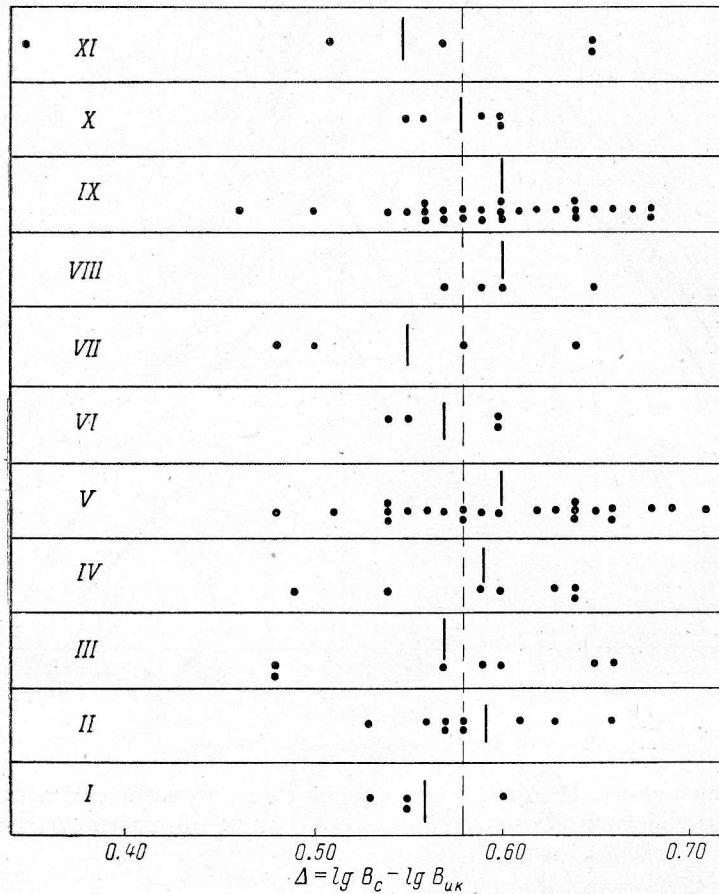


Рис. 5. «Показатели цвета» для объектов и групп объектов, приведенных в табл. 4.

Наименьшее отклонение от среднего у заливов и у болот. Действительно, это более ровные, гладкие участки лунной поверхности. Наибольшее отклонение от среднего — у морей и кратеров. Это можно объяснить неоднородностью дна моря в первом случае и малыми размерами исследуемого участка в кратере, сравнимого с размерами выбранной щели микрофотометра, во втором.

На рис. 5 нанесены значения величины $\Delta = \lg B_c - \lg B_{uk}$ для каждой изучаемой детали и участка Луны (точки), средние значения этой величины для каждой группы объектов (вертикальные линии) и среднее значение ее для всей Луны (пунктирная линия). Отклонение цвета отдельных деталей от среднего цвета Луны не превышает 0.13 (в логарифмической шкале), или 0.325 звездной величины. Из рис. 5 видно, что материки и горные области Луны «краснее» морей.

ТАБЛИЦА 4

Номер детали	$(\lg B_c - \lg B_{\text{ИК}}) \pm \sigma$	Номер детали	$(\lg B_c - \lg B_{\text{ИК}}) \pm \sigma$	Номер детали	$(\lg B_c - \lg B_{\text{ИК}}) \pm \sigma$			
I Горные области		V моря		IX Кратеры				
28	0.55 ± 0.027	3	0.69 ± 0.030	4	0.62 ± 0.021			
40	0.53 ± 0.024	6	0.71 ± 0.035	5	0.59 ± 0.021			
72	0.55 ± 0.026	7	0.54 ± 0.022	12	0.61 ± 0.015			
98	0.60 ± 0.012	8	0.56 ± 0.023	19	0.64 ± 0.026			
Среднее	0.56 ± 0.030	9	0.54 ± 0.031	23	0.56 ± 0.033			
		15	0.66 ± 0.019	24	0.68 ± 0.019			
II Океан Бурь		20	0.68 ± 0.028	25	0.50 ± 0.021			
67	0.53 ± 0.028	22	0.65 ± 0.018	26	0.46 ± 0.019			
		17	0.55 ± 0.010	32	0.54 ± 0.025			
69	0.58 ± 0.015	18	0.58 ± 0.019	33	0.64 ± 0.025			
		58	0.58 ± 0.026	35	0.67 ± 0.019			
77	0.61 ± 0.015	78	0.60 ± 0.017	37	0.59 ± 0.019			
		21	0.54 ± 0.023	41	0.63 ± 0.026			
92	0.57 ± 0.022	29	0.62 ± 0.029	42	0.58 ± 0.034			
		38	0.64 ± 0.027	43	0.56 ± 0.026			
93	0.57 ± 0.016	47	0.64 ± 0.019	44	0.57 ± 0.023			
		56	0.48 ± 0.018	45	0.55 ± 0.035			
94	0.58 ± 0.020	68	0.63 ± 0.017	48	0.66 ± 0.018			
		50	0.60 ± 0.025	51	0.64 ± 0.024			
95	0.56 ± 0.028	59	0.51 ± 0.027	52	0.65 ± 0.020			
		63	0.59 ± 0.028	55	0.58 ± 0.028			
96	0.63 ± 0.020	73	0.64 ± 0.033	62	0.56 ± 0.021			
		75	0.57 ± 0.037	70	0.33 ± 0.027			
99	0.66 ± 0.038	Среднее	0.59 ± 0.039	74	0.68 ± 0.031			
				83	1.11 ± 0.033			
III Светлые лучи		Среднее	0.60 ± 0.054	88	0.60 ± 0.013			
				90	0.60 ± 0.026			
10	0.59 ± 0.022	VI Заливы		91	0.57 ± 0.020			
		39	0.60 ± 0.017	97	0.60 ± 0.018			
30	0.48 ± 0.020	Среднее	0.61 ± 0.052	X Краевые участки Луны				
				2	0.55 ± 0.024			
57	0.65 ± 0.017	46	0.55 ± 0.020	49	0.60 ± 0.022			
				65	0.60 ± 0.025			
61	0.60 ± 0.012	71	0.54 ± 0.023	82	0.59 ± 0.015			
				87	0.56 ± 0.031			
64	0.57 ± 0.022	89	0.60 ± 0.013	Среднее	0.58 ± 0.023			
				VII Болота				
79	0.48 ± 0.020	Среднее	0.58 ± 0.033	2	0.50 ± 0.067			
				16	0.58 ± 0.020			
85	0.66 ± 0.033	36	0.48 ± 0.022	36	0.64 ± 0.018			
				76	0.60 ± 0.013			
Среднее	0.58 ± 0.073	Среднее	0.55 ± 0.074	XI Материки				
				27	0.65 ± 0.030			
IV Соседние с лучами области		Среднее	0.55 ± 0.074	34	0.57 ± 0.024			
11	0.64 ± 0.019			54	0.59 ± 0.019			
	Среднее			86	0.60 ± 0.013			
31				0.49 ± 0.024			4	0.51 ± 0.030
							13	0.65 ± 0.020
53	0.64 ± 0.018	Среднее	0.60 ± 0.034	80	0.35 ± 0.019			
				100	0.57 ± 0.021			
60	0.59 ± 0.025	Среднее	0.60 ± 0.034	101	0.65 ± 0.027			
				VIII Пятна				
66	0.54 ± 0.021	Среднее	0.60 ± 0.034	Среднее	0.55 ± 0.125			
				IX Кратеры				
81	0.60 ± 0.019	Среднее	0.62 ± 0.021	4	0.62 ± 0.021			
				5	0.59 ± 0.021			
84	0.63 ± 0.021	Среднее	0.61 ± 0.052	12	0.61 ± 0.015			
				19	0.64 ± 0.026			
Среднее	0.59 ± 0.039	Среднее	0.58 ± 0.033	23	0.56 ± 0.033			
				24	0.68 ± 0.019			
V моря		Среднее	0.60 ± 0.034	25	0.50 ± 0.021			
				26	0.46 ± 0.019			
VI Заливы		Среднее	0.60 ± 0.054	32	0.54 ± 0.025			
				33	0.64 ± 0.025			
IX Кратеры		Среднее	0.60 ± 0.037	35	0.67 ± 0.019			
				37	0.59 ± 0.019			
X Краевые участки Луны		Среднее	0.61 ± 0.052	41	0.63 ± 0.026			
				42	0.58 ± 0.034			
VII Болота		Среднее	0.58 ± 0.033	49	0.60 ± 0.022			
				65	0.60 ± 0.025			
XI Материки		Среднее	0.58 ± 0.023	82	0.59 ± 0.015			
				87	0.56 ± 0.031			
VIII Пятна		Среднее	0.55 ± 0.074	2	0.50 ± 0.067			
				16	0.58 ± 0.020			
IX Кратеры		Среднее	0.60 ± 0.034	36	0.48 ± 0.022			
				76	0.64 ± 0.018			
X Краевые участки Луны		Среднее	0.58 ± 0.033	2	0.55 ± 0.024			
				49	0.60 ± 0.022			
VII Болота		Среднее	0.60 ± 0.054	65	0.60 ± 0.025			
				82	0.59 ± 0.015			
XI Материки		Среднее	0.58 ± 0.023	87	0.56 ± 0.031			
				2	0.50 ± 0.067			
VIII Пятна		Среднее	0.55 ± 0.074	16	0.58 ± 0.020			
				36	0.48 ± 0.022			
IX Кратеры		Среднее	0.60 ± 0.034	76	0.64 ± 0.018			
				2	0.55 ± 0.024			
X Краевые участки Луны		Среднее	0.58 ± 0.033	49	0.60 ± 0.022			
				65	0.60 ± 0.025			
VII Болота		Среднее	0.60 ± 0.054	82	0.59 ± 0.015			
				87	0.56 ± 0.031			
XI Материки		Среднее	0.58 ± 0.023	2	0.50 ± 0.067			
				16	0.58 ± 0.020			
VIII Пятна		Среднее	0.55 ± 0.074	36	0.48 ± 0.022			
				76	0.64 ± 0.018			
IX Кратеры		Среднее	0.60 ± 0.034	2	0.55 ± 0.024			
				16	0.58 ± 0.020			
X Краевые участки Луны		Среднее	0.58 ± 0.033	49	0.60 ± 0.022			
				65	0.60 ± 0.025			
VII Болота		Среднее	0.60 ± 0.054	82	0.59 ± 0.015			
				87	0.56 ± 0.031			
XI Материки		Среднее	0.58 ± 0.023	2	0.50 ± 0.067			
				16	0.58 ± 0.020			
VIII Пятна		Среднее	0.55 ± 0.074	36	0.48 ± 0.022			
				76	0.64 ± 0.018			
IX Кратеры		Среднее	0.60 ± 0.034	2	0.55 ± 0.024			
				16	0.58 ± 0.020			
X Краевые участки Луны		Среднее	0.58 ± 0.033	49	0.60 ± 0.022			
				65	0.60 ± 0.025			
VII Болота		Среднее	0.60 ± 0.054	82	0.59 ± 0.015			
				87	0.56 ± 0.031			
XI Материки		Среднее	0.58 ± 0.023	2	0.50 ± 0.067			
				16	0.58 ± 0.020			
VIII Пятна		Среднее	0.55 ± 0.074	36	0.48 ± 0.022			
				76	0.64 ± 0.018			
IX Кратеры								

Для некоторых изученных деталей лунной поверхности наблюдается аномальное изменение яркости в инфракрасной области спектра, что проявляется в изменении «показателя цвета» (см. рис. 6). Из изученных кратеров наибольшее различие в яркости по «синим» и инфракрасным снимкам имеет Аристарх (рис. 6, 1). Возможно, это объясняется люминесценцией лунных пород под действием корпускулярного излучения. Именно в области спектра 430 мкм впервые обнаружен подъем отражательной способности кратера Аристарх Н. А. Козыревым [12], позднее подтвержденный Дюбуа [13], а затем подробно исследованный М. Н. Мироновой [14] и Н. Н. Петровой [15].

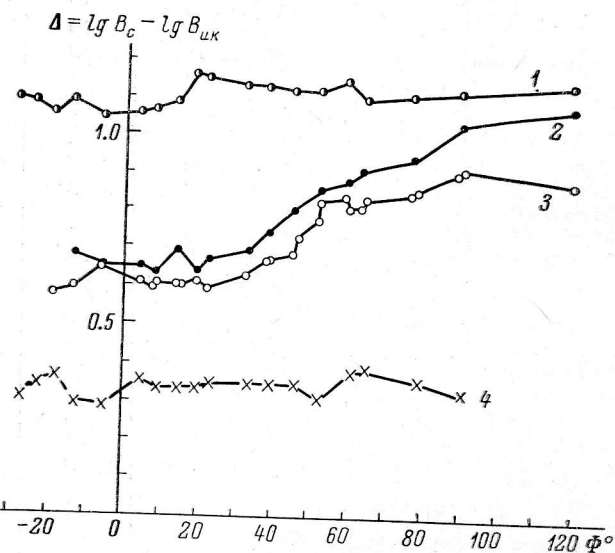


Рис. 6. Изменение «показателя цвета» в зависимости от угла фазы Луны.

1 — для кратера Аристарх; 2 — для материевого участка около Гриимальди; 3 — для кратера Гриимальди; 4 — для кратера Синус.

Кратер Синус (рис. 6, 4) на снимках в инфракрасной области намного све тлее, чем остальные наблюдавшиеся кратеры, что, по-видимому, объясняется его красным цветом.

Кратер Гриимальди (рис. 6, 3) при $\Phi > +30^{\circ}$ становится темнее в области спектра 920 мкм на 0.30. Это вполне реальное изменение, так как оно значительно больше среднеквадратичной ошибки. Возможно, это изменение связано с изменением цвета кратера в инфракрасной области при $\Phi > +30^{\circ}$.

Подобно Гриимальди ведет себя и соседний с ним материевый участок (рис. 6, 2). При $\Phi > +35^{\circ}$ яркость его увеличивается в области спектра 920 мкм на 0.35, т. е. он становится «синеё».

Для материка, расположенного севернее Аристарха, величина $\lg B_c - \lg B_{uk}$ намного меньше, чем для остальных материев. Может быть, это связано с его цветом. Действительно, многие наблюдатели этот участок Луны считают красным.

Заслуживает внимания изменение отражательной способности с фазой у Моря Дождей. Для западной части Моря Дождей (см. рис. 7, 1) при изменении угла фазы от -90° до -20° «показатель цвета» уменьшается на 0.35, затем остается на одном уровне, а при $\Phi > +60^{\circ}$ опять возрастает до первоначальной величины. Изменение «показателя цвета» восточной

части Моря Дождей (рис. 7, 2) при $\Phi > +60^\circ$ находится на пределе ошибок измерений и требует дальнейшего исследования.

Отклонение от среднего «показателя цвета» горной части восточнее Залива Радуги (рис. 7, 3) при $\Phi > +65^\circ$ также находится на пределе точности измерений и требует тщательного изучения.

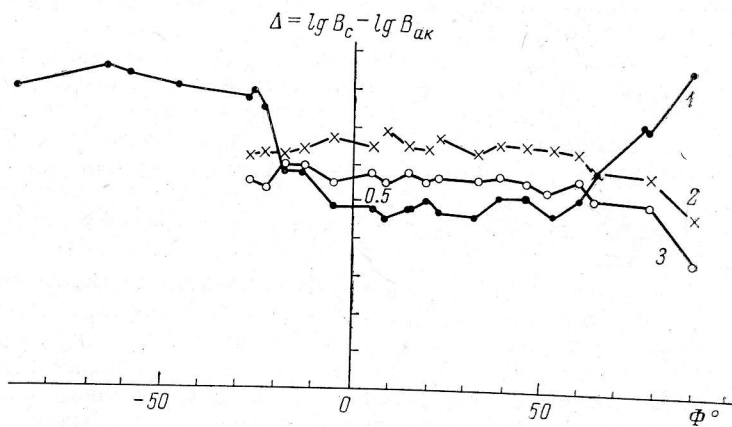


Рис. 7. Изменение «показателя цвета» в зависимости от угла фазы Луны.

1 — для западной части Моря Дождей; 2 — для восточной части Моря Дождей; 3 — для горной части восточнее Залива Радуги.

Интересно поведение Моря Кризисов (см. рис. 8, 1). При изменении угла фазы от -140 до -80° «показатель цвета» его незначительно возрастает, затем резко, на 0.45, спадает (до $\Phi = -20^\circ$). После $\Phi = -20^\circ$

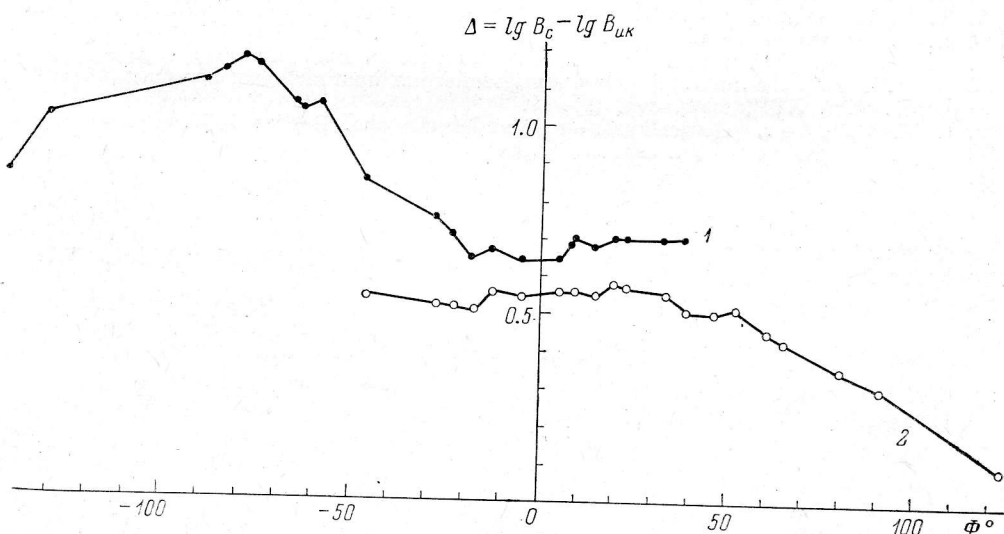


Рис. 8. Изменение «показателя цвета» в зависимости от угла фазы Луны.

1 — для Моря Кризисов; 2 — для Залива Радуги.

Море Кризисов, примерно так же, как и Море Спокойствия, изменяет свою яркость одинаково в обеих областях спектра.

«Показатель цвета» Залива Радуги уменьшается на 0.40, начиная с $\Phi = +50^\circ$, т. е. Залив Радуги в третьей четверти постепенно «краснеет» (рис. 8, 2).

В северной части Океана Бурь наблюдалось переменное пятно неизвестной природы (объект № 99). Сильные флуктуации его яркости на инфракрасных снимках 9 января, 1 и 5 сентября 1966 г. требуют дальнейшего изучения. Причиной этих изменений может быть солнечная активность. Проведен предварительный анализ возможной связи наблюдавшегося явления с солнечной активностью, но пока еще преждевременно делать окончательный вывод о природе этого пятна.

Таким образом, контрасты яркости на Луне в области спектра 920 мкм выше, чем для области спектра 430 мкм. Это может быть следствием уменьшения возможного люминесцентного свечения некоторых деталей лунной поверхности в инфракрасных лучах. Понизить контраст изображения может также наличие рассеянного света в видимой области спектра.

С наибольшей точностью определены яркости болот и заливов, с наименьшей — отдельных небольших кратеров, что связано с трудностью наведения на них.

Ряд деталей Луны обнаруживает отклонение в ходе изменения отражательной способности в зависимости от угла фазы в инфракрасной области спектра по сравнению с областью спектра 430 мкм. Эти отклонения вполне реальны, так как их величины выше возможных ошибок измерения более чем в три раза. Для кратера Синус эти отклонения, а также высокая отражательная способность в области спектра 920 мкм по сравнению с остальными деталями лунной поверхности, по-видимому, объясняются цветовыми изменениями на Луне.

Л и т е р а т у р а

1. В. А. Федорец, Тр. астрон. обс. Харьковск. гос. ун-та, 2, 49, 1962.
2. Н. Ф. Купревич, Астрон. ж., 39, вып. 6, 1436, 1962.
3. Н. Ф. Купревич, Изв. Гл. астрон. обс. в Пулкове, XXI, № 163, 133, 1960.
4. Н. Ф. Купревич, Астрон. ж., 40, вып. 5, 889, 1963.
5. И. И. Брэйдо, Изв. Гл. астрон. обс. в Пулкове, XXIV, № 177, 165, 1964.
6. Н. П. Барабашов, Публ. Харьковск. астрон. обс., № 1, 35, 1927.
7. П. Бугер. Оптический трактат о градации света. Изд. АН СССР, 1950.
8. Н. Н. Сытинская. Абсолютная фотометрия протяженных небесных объектов. Изд. ЛГУ, 1948, стр. 60—61.
9. I. H. Mädler. Generalkarte der Mondoberfläche. Berlin, 1837.
10. В. В. Шаронов, Уч. зап. ЛГУ, № 31, 28, 1939.
11. А. В. Марков, Бюлл. Абастум. астрофиз. обс., № 11, 107, 1950.
12. Н. А. Козырев, Изв. Крымск. астрофиз. обс., 16, 148, 1956.
13. I. Dubois, Rep. Obs. Univ. Bordeaux, ser. A., N 13, 1959.
14. М. Н. Миронова, Докл. АН УССР, № 4, 455, 1965.
15. Н. Н. Петрова, Изв. Гл. астрон. обс. в Пулкове, XXIV, № 182, 151, 1967.

Январь 1969 г.